

78  
28



UNIVERSIDAD NACIONAL AUTÓNOMA  
DE MÉXICO

FACULTAD DE INGENIERIA

SISTEMA PARA EL MANEJO DE UN BRAZO  
MECANICO CON KITS EDUCACIONALES

T E S I S

QUE PARA OBTENER EL TITULO DE:  
INGENIERO EN COMPUTACION

P R E S E N T A N :

MANUEL ENRIQUE REINOSA SERVIN  
SANDRA LUZ LOPEZ CASTELLANOS

Director: Ing. Edmundo Rosales Valderrabano

México, D. F.

1992



TESIS CON  
FALLA DE ORIGEN



Universidad Nacional  
Autónoma de México

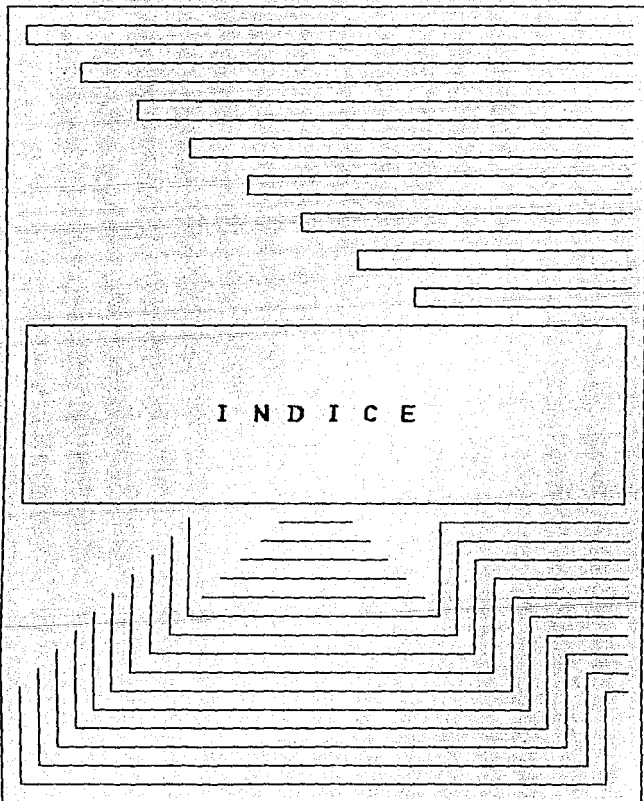


## **UNAM – Dirección General de Bibliotecas Tesis Digitales Restricciones de uso**

### **DERECHOS RESERVADOS © PROHIBIDA SU REPRODUCCIÓN TOTAL O PARCIAL**

Todo el material contenido en esta tesis está protegido por la Ley Federal del Derecho de Autor (LFDA) de los Estados Unidos Mexicanos (México).

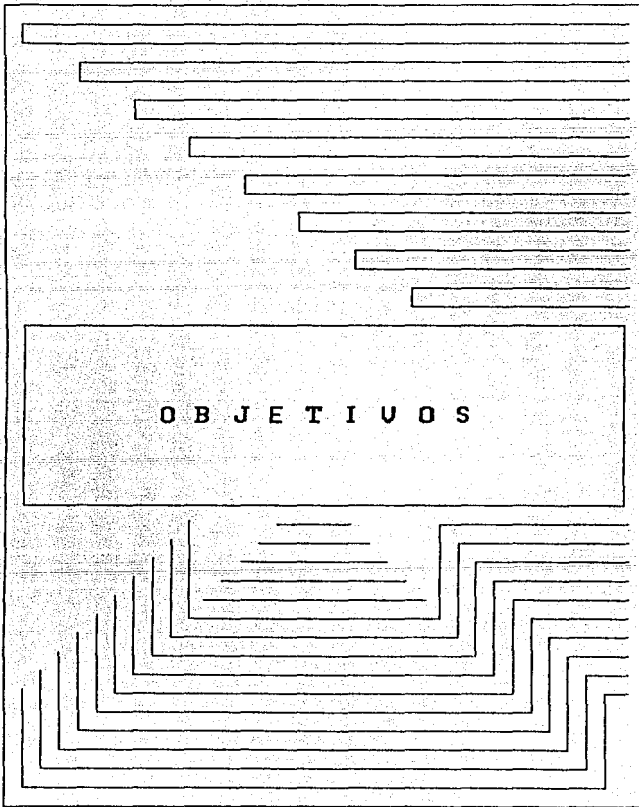
El uso de imágenes, fragmentos de videos, y demás material que sea objeto de protección de los derechos de autor, será exclusivamente para fines educativos e informativos y deberá citar la fuente donde la obtuvo mencionando el autor o autores. Cualquier uso distinto como el lucro, reproducción, edición o modificación, será perseguido y sancionado por el respectivo titular de los Derechos de Autor.



Objetivos	5
Introducción	7
1 Brazo manipulador	10
1.1 Introducción	11
1.2 Descripción	14
1.3 Motores	17
1.3.1 Definición de servomotor	17
1.3.2 Características	20
1.4 Etapa de control	20
1.5 Etapa de potencia	32
1.6 Pinza neumática	34
2 Controlador del brazo	37
2.1 Señales de entrada	38
2.2 Esquema general y funcionamiento	44
2.3 Pulsos enviados al brazo, generados a partir de los datos de entrada	46
2.4 Teclado	49
2.5 Señal de control para la pinza neumática	51
2.6 Sensores	52
2.7 Fuente de poder	59

3	Interface paralelo MC68230	61
3.1	Arquitectura interna del PI/T	64
3.1.1	Descripción de los registros del PI/T	65
3.1.2	Decodificación de los puertos	67
3.2	Modos de programación	68
3.3	Modo seleccionado de programación	70
3.4	Registros utilizados y distribución de señales en los puertos	71
3.5	Conexión MEX68KECB - controlador	75
4	Interface paralelo Z80-PIO	78
4.1	Arquitectura interna del PIO	81
4.1.1	Descripción interna de los puertos	82
4.1.2	Decodificación de los puertos	84
4.2	Modos de programación	84
4.3	Modo seleccionado de programación	88
4.4	Registros utilizados y distribución de señales en los puertos	89
4.5	Conexión kit Z80 - controlador	92
5	Software	94
5.1	Diseño del software de control	95
5.2	Software de control MC68000	120
5.3	Software de control Z80	124
5.4	Observaciones	130

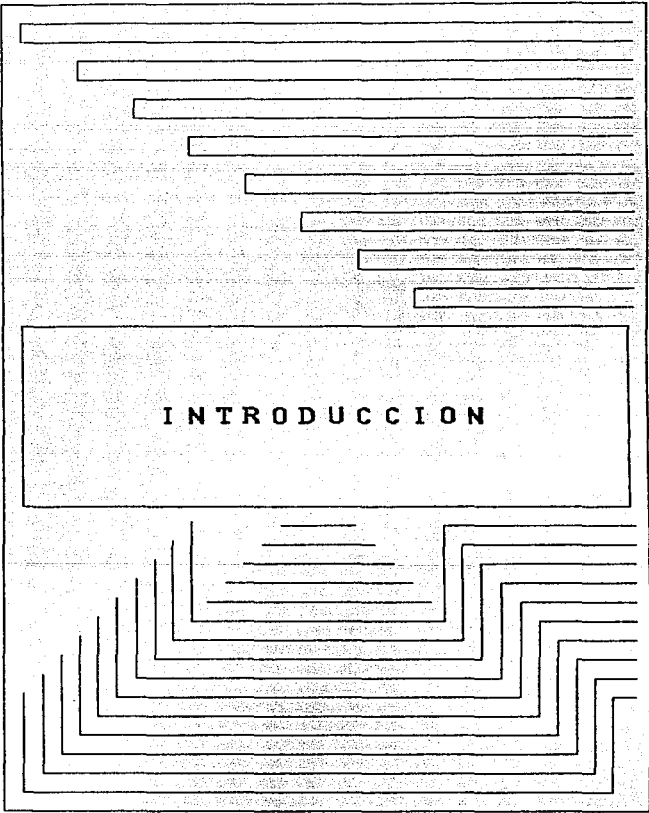
<b>6 Posicionamiento</b>	<b>131</b>
6.1 Cálculo sobre el plano $x-y$	135
6.2 Cálculo sobre un plano vertical	139
6.3 Asociación de ángulos	151
6.4 Ejemplo	155
<b>Conclusiones</b>	<b>161</b>
<b>Bibliografía</b>	<b>165</b>



**OBJETIVOS**

1) Establecer el enlace y desarrollar el software para lograr el manejo de un brazo mecánico a través de los kits educativos MEX68KECB (con microprocesador MC68000) y SDK-Z80 (con microprocesador Z80).

2) Asentar las bases para el desarrollo de futuras prácticas de software y hardware para los laboratorios de las materias de Microcomputadoras y de Robótica.



**INTRODUCCION**

El hombre en su continua búsqueda de bienestar, ha conseguido que máquinas y equipos muy sofisticados efectúen todas aquellas labores rutinarias o peligrosas. Se tiende al uso de sistemas automáticos para obtener mayor seguridad, calidad, rapidez, precisión, ahorro, productividad, rendimiento y competitividad.

Este proyecto se planteó con el fin de presentar un panorama general del funcionamiento de un brazo mecánico, así como de la programación de circuitos periféricos de comunicación en paralelo.

El brazo mecánico empleado en este proyecto se halla conectado originalmente a un computador personal a través de un controlador (se describe en el capítulo 2). Al sustituir el computador por un kit educacional se logra:

- a) Emplear el equipo con que cuenta el laboratorio de Microcomputadoras.
- b) Reducir el espacio físico que requiere el trabajar con este equipo.
- c) Facilitar el desarrollo de prácticas, ya que se utiliza algo conocido, como se ha expresado en el inciso a). Además se integrarían las nuevas prácticas con las ya existentes.

d) Que al controlar el brazo con equipos básicos, el alumno aprenda cuál es su funcionamiento y cuáles son los componentes que lo integran.

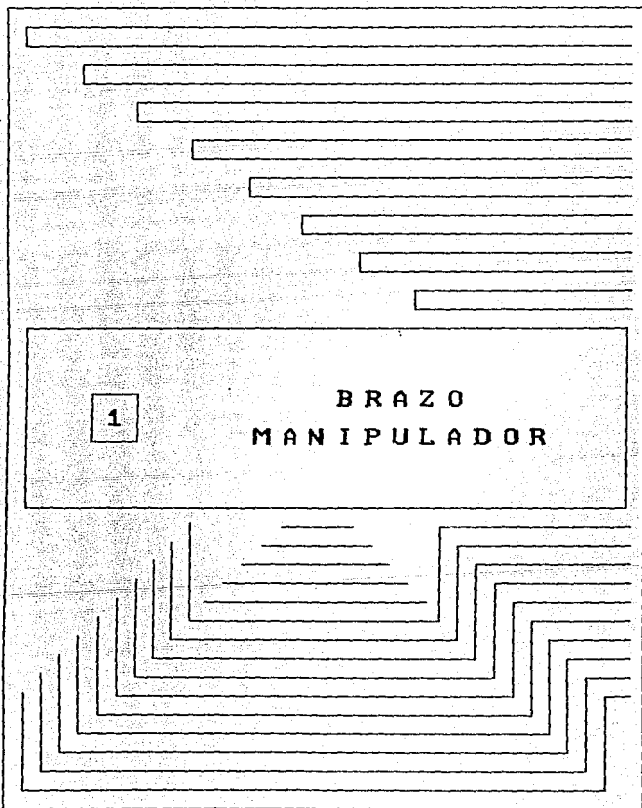
El capítulo 1 de este documento muestra al brazo mecánico en sus diferentes partes.

En el capítulo 2 se estudia al controlador, incluyéndose información sobre sensores que pueden ser utilizados con este equipo.

Los capítulos 3 y 4 describen la programación de los circuitos MC68230 y Z80-PIO (interfaces paralelo), que permiten la comunicación desde los procesadores MC68000 y Z80 respectivamente. Se refieren también a la conexión establecida para lograr la comunicación entre los kits educacionales y el controlador.

En el capítulo 5 se ha incluido lo referente a software (programación de circuitos, envío de datos al controlador, etc.), integrando un sistema que permite el manejo del brazo a través del teclado del controlador con un conjunto de funciones.

El capítulo 6 presenta una forma alterna para el manejo del brazo, desarrollándose un método para calcular posiciones.



## 1.1 Introducción

Un brazo mecánico es un mecanismo capaz de realizar movimientos semejantes o equivalentes a los de un brazo humano.

Según su construcción puede pertenecer a alguno de los siguientes tipos:

- a) **Cartesiano.**— este puede desplazarse sobre los ejes de un sistema de coordenadas cartesianas, pero siempre en forma paralela a ellos, tal como se muestra en la siguiente figura.

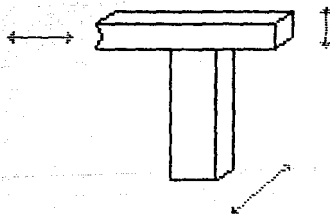


fig. 1.1 - Esquema general de un brazo de tipo cartesiano

- b) Cilíndrico.- Se basa en un sistema de coordenadas cilíndricas. Existe un movimiento de giro sobre la base, además de desplazamientos lineales: uno vertical y otro horizontal (ver fig. 1.2).

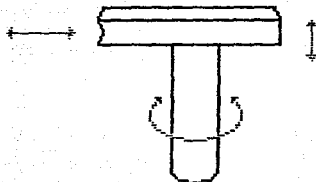


fig. 1.2 - Esquema general de un brazo de tipo cilíndrico

- c) Polar.- Es similar al cilíndrico, pero el desplazamiento vertical se produce a través de un giro sobre el plano vertical (ver fig. 1.3).
- d) Antropomórfico.- Como su nombre lo indica, es similar a un brazo humano en cuanto a su forma, ya que sus partes se hallan unidas mediante articulaciones. El brazo empleado en este proyecto pertenece a este tipo, y su configuración puede consultarse en la fig. 1.4.

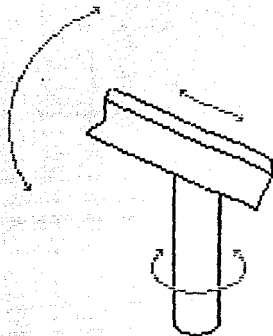


fig. 1.3 - Esquema general de un brazo de tipo palier

## 1.2 Descripción

El brazo mecánico que se empleará se encuentra compuesto de varias partes articuladas entre sí, distinguiéndose cinco ejes de rotación, más una pinza neumática para sujeción de objetos (ver fig. 1.4).

El movimiento en las articulaciones se produce mediante servomotores, cada uno de los cuales permite un giro de 120° de amplitud.

El brazo es capaz de girar sobre su base gracias al servo 0, el cual produce el movimiento de rotación (ROTATE).

El servo 1 mantiene su eje perpendicular al del servo 0, y permite el movimiento de hombro (SHOULDER).

Siguiendo sobre el brazo hacia arriba se encuentra el servo 2, que genera el movimiento de brazo (ARM).

En la parte extrema del brazo se halla el efector final, compuesto por el servo 4 (movimiento de mano (HAND)) con eje paralelo al del servo 2, por el servo 3 (movimiento de muñeca (WRIST), similar al manipular un destornillador) con eje perpendicular al del servo 4, y por la pinza (GRIPPER), la cual es de acción neumática y sólo de dos posiciones: abierto/cerrado.

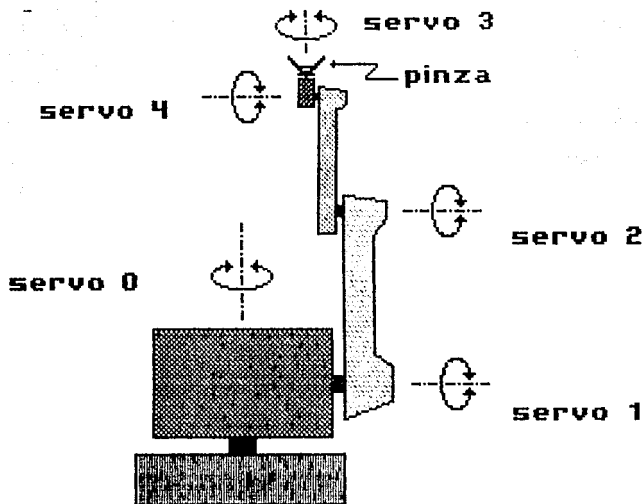


fig. 1.4 - Esquema del brazo mecánico, en el cual se indican servomotores y sus ejes de rotación

La extensión máxima del brazo es de 40 cm, medida desde el eje del servo 1 al extremo de la pinza. El máximo peso que puede soportar es de 200 g.

Bajo la base del brazo se encuentra una tarjeta de circuito impreso, en la cual se han montado las etapas de control y de potencia de los servomotores. En este mismo lugar se aloja la válvula de control para la pinza. A través de un conector de 34 líneas se reciben las señales provenientes del controlador, con la siguiente distribución:

CONECTOR (pin)	SERIAL
1,2	GND
3,4,6,11-17,20	NC
5	servo 0
7	servo 1
8	servo 4
9	servo 2
10	servo 3
18	pinza
19	+5V
21-26,28	GND
27,29,30	+6V
31,32	+5V
33,34	+5V

tabla 1.1 - Distribución de señales en el conector del brazo

## 1.3 Motores

### 1.3.1 Definición de servomotor

Un servomotor forma parte de un servosistema, y por lo tanto se presenta primero un panorama general:

Para aumentar la precisión de un sistema de mando debe de establecerse un enlace entre las señales de entrada y de salida. Por medio de este enlace, denominado comúnmente cadena de retorno, la señal de salida se introduce en el sistema después de compararse con la señal de entrada (ver fig. 1.5). La señal resultante de la diferencia entre la señal de entrada y la señal de salida debe de actuar sobre el sistema a gobernar con el fin de corregir el error. Un sistema con una realimentación como la anteriormente descrita, se denomina sistema en cadena cerrada o servosistema.

Un servosistema reúne las dos propiedades siguientes:

- Amplifica la potencia; a partir de una señal de baja potencia, normalmente electrónica, es capaz de obtener un nivel de potencia mucho más elevado.
- Está dotado de una realimentación.

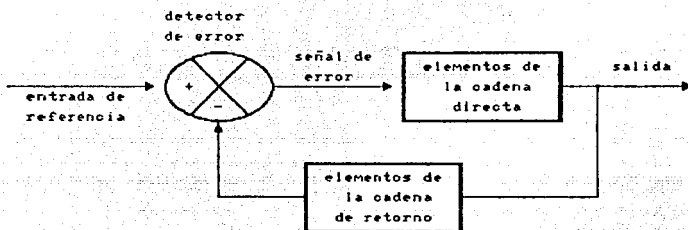


fig. 1.5 - Diagrama de bloques básico de un servosistema

La fig. 1.5 representa esquemáticamente los elementos más característicos de un servosistema. La cadena directa de un servosistema puede constar de elementos tales como detector de error, amplificador, motor y redes correctoras. La cadena de realimentación consta normalmente de transductores y redes correctoras. A menudo, para mejorar las características del sistema es necesario introducir redes correctoras en la cadena directa, en la de retorno o en ambas.

Los transductores pueden ser de muy diversa índole (termopares, células fotoeléctricas, termistores, potenciómetros, etc.), según la naturaleza del fenómeno a detectar. Las señales generadas por éstos son generalmente tensiones eléctricas con un nivel de potencia muy bajo (10 a

15 mH). Esto no produce inconveniente alguno, ya que estas señales pueden amplificarse suficientemente para el gobierno de los órganos de accionamiento (servomotores), sean éstos hidráulicos, neumáticos o eléctricos; por el contrario, ofrece la ventaja de una fácil medición y transmisión a distancia.

La fig. 1.6 muestra el diagrama de bloques de un sistema en cadena cerrada, cuya función consiste en posicionar una carga. En este caso se emplean un par de potenciómetros para detectar el error entre la posición real de la carga (salida) y la posición deseada (entrada de referencia). La tensión de error  $\epsilon$  se amplifica y se aplica al motor para que éste gire en un sentido tal que tienda a eliminar la señal de error. Como ya se vió, a los motores empleados en estos sistemas se les denomina precisamente servomotores.

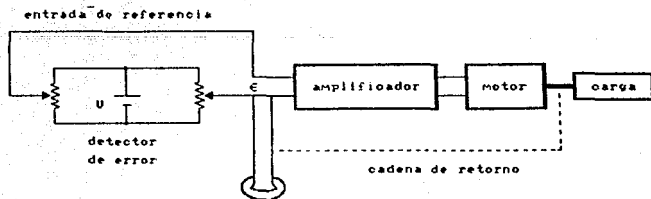


fig. 1.6 - Sistema en cadena cerrada para posicionar una carga

### 1.3.2 Características

Los motores que se encuentran incluidos en el brazo mecánico son de corriente directa, con polarización máxima de 2 V y consumo máximo de 450 mA.

Cada motor posee su eje mecánicamente acoplado al cursor de un potenciómetro, cuya señal proporciona retroalimentación de posición, como se verá en el punto 1.4.

Estos se convierten en servomotores por la adición de una etapa de control. Para los servos 0, 1 y 2 dicha etapa se basa en un circuito especial adicional, tal como se verá en el punto 1.4. Los servos 3 y 4 han sido armados en fábrica como una sola unidad, en la cual se incluye el motor y la etapa de control; su funcionamiento, en principio, es el mismo que para los otros servomotores.

### 1.4 Etapa de control

Cada uno de los servomotores es controlado mediante un circuito servo-amplificador NE544 de Signetics, cuyas características y conexión se incluyen en los siguientes párrafos.

El NE544 es un circuito integrado lineal con funciones de

servo-amplificador y demodulador de duracion de pulso. Su uso incluye aplicaciones de control de posicion con lazo cerrado. A través de la conexión de diversos elementos a algunos de sus pines es posible adaptarlo a una gran variedad de servomotores.

En la fig. 1.7 se muestra el diagrama de bloques de este circuito.

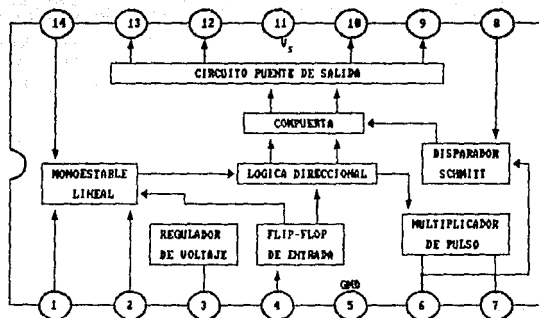


fig. 1.7 - Diagrama a bloques del circuito NES44 de Signetics

El regulador de voltaje proporciona una salida constante de 2.5 V, protegiendo contra variaciones de la fuente de alimentación.

La duración de un pulso positivo aplicado como entrada (pin 4) determina la posición que ha de alcanzar el motor. Al aparecer éste habilita el flip-flop e inicia el período del monoestable. La lógica direccional compara la duración del pulso de entrada con la del pulso interno del monoestable, y almacena el resultado en un flip-flop de dirección. La diferencia exacta entre ambos pulsos es llamada pulso de error, y es alimentada a los circuitos disparador Schmitt y multiplicador de pulso. Estos circuitos determinan tres importantes parámetros:

- a) Mínimo pulso de salida.- Es el menor pulso de salida que puede ser generado por el disparador Schmitt.
- b) Ganancia del multiplicador de pulso.- Es la relación entre la duración del pulso de error y la del pulso de salida.
- c) Punto muerto.- Es la mínima diferencia entre el pulso de entrada y el pulso interno del monoestable, necesaria para obtener una salida.

Se puede lograr el ajuste de estos parámetros con resistores y capacitores externos conectados a los pines 6, 7 y 8, como se verá más adelante.

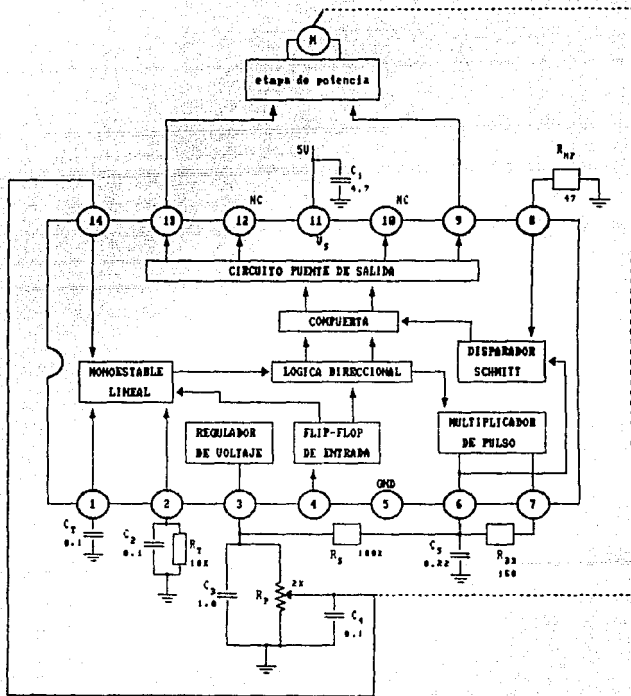


fig. 1.8 - Configuración de la etapa de control de un servomotor, basada en el NES44

El disparador Schmitt activa la compuerta por un periodo preciso de tiempo, proporcional a la duración del pulso de error, dando salida al motor a través del circuito puente.

El monoestable integrado es lineal, lo que permite diseñar servosistemas con muy alta precisión de posición y funciones de transferencia lineales <duración de pulso a posición>.

En la fig. 1.8 se muestra la conexión del NE544 en la tarjeta del brazo mecánico.

El eje del potenciómetro  $R_p$  se encuentra mecánicamente acoplado al del motor, proporcionando de este modo retroalimentación de posición.

Una vez que aparece el pulso de entrada, el flip-flop (tipo SET-RESET) toma un valor alto e inicia el periodo del monoestable.

#### MONOESTABLE LINEAL

Inicialmente el capacitor  $C_T$  en el pin 1 se halla descargado. La corriente que circula permanentemente por el resistor  $R_T$ , conectado al pin 2, es igual a la que comienza a fluir a

través de  $C_T$ . Cuando el voltaje en este último iguala al proporcionado por el potenciómetro  $R_p$  (ver fig. 1.9), concluye el período del monoestable. Así, la duración del pulso interno del monoestable está en razón directa a la posición del motor, obtenida a través del potenciómetro  $R_p$ , y viene dada por la ecuación

$$T = \frac{C_T V_{1A}}{V_i / R_T}$$

donde:

$C_T$  es el valor del capacitor en el pin 1

$V_{1A}$  es el voltaje proporcionado por el potenciómetro  $R_p$  en el pin 14

$V_i$  es un voltaje interno que polariza al resistor  $R_T$ , y tiene un valor fijo de 1.8 V

$R_T$  es el valor del resistor en el pin 2.

De este modo, para los valores mostrados en la fig. 1.8, se tiene

$$T = \frac{(0.1 \times 10^{-6}) V_{1A}}{1.8 / (10 \times 10^3)}$$

$$T = 10^{-3} V_{1A}$$

Para dar una mejor idea de la magnitud de este periodo, se puede tener en cuenta lo siguiente: El voltaje proporcionado por el regulador es de 2.5 V, así que puede considerarse un valor cualquiera de 0 a 2.5 V en el cursor del potenciómetro  $R_p$ ; si se toma arbitrariamente como 1.5 V, entonces  $T = 1.5$  ms (nótese la linealidad).

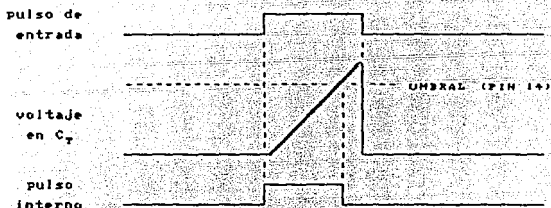


fig. 1.9 - Diagrama de tiempo que muestra la generación del pulso interno en el monoestable del NE544

Una vez que han finalizado el pulso del monoestable y el pulso de entrada, el capacitor  $C_T$  es descargado nuevamente a través de circuitería interna, y el flip-flop de entrada es reinicializado.

## LOGICA DIRECCIONAL

Esta parte del NES44 genera el pulso de error a partir de la comparación de duraciones entre el pulso de entrada y el pulso interno, determinando a la vez la dirección de giro del motor.

En la fig. 1.10 puede verse la generación del pulso de error para cuando el pulso de entrada es mayor que el pulso interno.



fig. 1.10 - Generación del pulso de error para cuando el pulso de entrada posee mayor duración que la del pulso interno

En la fig. 1.11 se muestra cómo aparece el pulso de error si el pulso de entrada es menor al pulso interno. En este caso el motor gira en sentido contrario al que tendría respecto a la relación mostrada en la fig. 1.10.

Nótese que en ambos casos el pulso de error inicia cuando uno de los pulsos de generación (entrada o interno) termina su duración, y finaliza cuando el pulso de generación contrario decae.

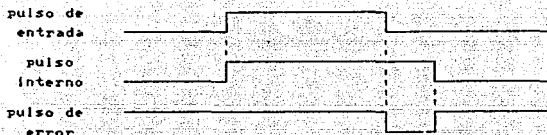


fig. 1.11 - Generación del pulso de error para cuando el pulso de entrada posee menor duración que la del pulso interno

#### MULTIPLICADOR DE PULSO Y DISPARADOR SCHMITT

Hasta antes de la aparición del pulso de error, el capacitor  $C_0$  (conectado al pin 6) se encuentra cargado casi al nivel del regulador de voltaje. En cuanto inicia el pulso de error, este capacitor comienza a descargarse a través del resistor  $R_{0B}$ , el cual está conectado en paralelo con un resistor interno  $R_i$ , hasta alcanzar el umbral inferior ( $V_L$ ) del disparador Schmitt (véase fig. 1.12). El tiempo transcurrido desde que inicia el pulso de error hasta que se alcanza este último nivel es lo que se denomina como punto muerto ( $T_{DB}$ ).

Una vez que  $C_0$  se encuentra en este nivel, aparece el pulso de salida y  $C_0$  sigue siendo descargado, pero esta vez a través de una fuente constante de corriente interna, hasta que el pulso de error desaparece.

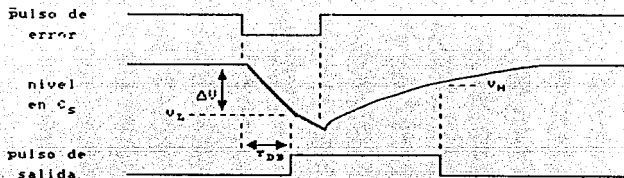


fig. 1.12 - Generación del pulso de salida a partir del pulso de error. Nótese los niveles  $V_L$  y  $V_H$  del disparador Schmitt en  $C_s$ .

Después de que el pulso de error ha finalizado,  $C_s$  es cargado nuevamente a través del resistor  $R_s$ . El pulso de salida se mantiene hasta que el nivel en  $C_s$  iguala al umbral superior ( $V_H$ ) del disparador Schmitt.

La duración del punto muerto puede ser calculada con la ecuación

$$T_{DS} \approx \frac{C_s \Delta V}{I_T} ,$$

donde:

- $C_s$  es el valor del capacitor en el pin 6
- $\Delta V$  es la diferencia entre el voltaje inicial en  $C_s$  y el umbral inferior del disparador Schmitt
- $I_T$  es la corriente total de descarga de  $C_s$ .

Se tiene que

$$I_T \approx I_M + \frac{V_M (R_1 + R_{DN})}{R_1 R_{DN}}$$

donde:

$I_M$  es la corriente de descarga producida por la fuente interna, cuyo valor es 3 mA

$V_M$  es el voltaje inicial del capacitor  $C_M$ , el cual es de 2.2 V

$R_1$  es el valor del resistor interno (150  $\Omega$ )

$R_{DN}$  es el valor del resistor entre los pines 6 y 7.

De este modo

$$I_T \approx 3 \times 10^{-3} + \frac{2.2 (150 + 150)}{(150)(150)}$$

$$I_T \approx 32.3 \text{ mA}$$

Por lo tanto

$$T_{DN} \approx \frac{0.22 \times 10^{-4} (0.7)}{32.3 \times 10^{-3}}$$

$$T_{DN} \approx 4.76 \text{ } \mu\text{s}$$

El valor del resistor  $R_{HP}$  conectado al pín 8 determina la histéresis del disparador Schmitt, y por lo tanto la duración del pulso de salida.

#### COMPUERTA

Esta recibe el pulso de salida proporcionado por el disparador Schmitt, y permite el paso de las señales de dirección hacia el circuito puente de salida por el tiempo que permanezca activo.

#### CIRCUITO PUENTE DE SALIDA

Es una etapa de potencia para el manejo del motor. Recibe las señales de dirección provenientes de la lógica direccional. Una de estas señales es alta mientras la otra es baja, produciendo que el motor gire en cierto sentido. Cuando se invierten las señales, el motor gira en sentido contrario.

### 1.5 Etapa de potencia

Las señales que parten de la etapa de control a través de los pines 9 y 13 del NES44, entran a una etapa de potencia que proporciona la corriente necesaria para el manejo del motor.

El diagrama del circuito que compone a dicha etapa se muestra en la fig. 1.13.

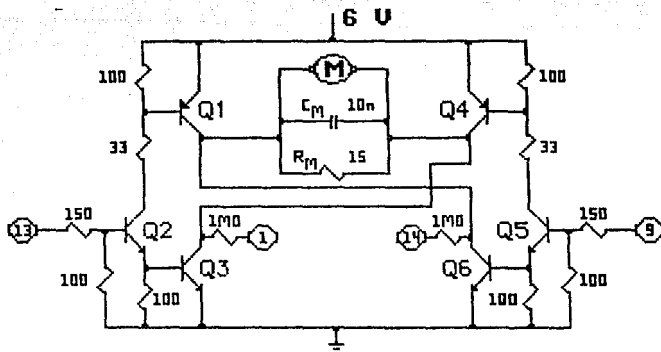


fig. 1.13 - Diagrama del circuito correspondiente a la etapa de potencia para un servomotor.  
(Q1, Q4 = BD434, Q2, Q3 = 2TX300, Q3, Q6 = BD433)

Para efecto de explicar el modo de operación de este circuito, supóngase que la señal proveniente del pin 13 es alta y la del pin 9 es baja.

El nivel alto recibido en la base del transistor Q2 produce que éste encienda, al igual que Q3. La diferencia de potencial entre la base del transistor Q1 y su colector es baja, ya que este último posee un nivel alto referenciado por el pin 14 de la etapa de control, y por lo tanto se encuentra conduciendo.

El nivel bajo recibido en la base del transistor Q5 mantiene a éste y a los transistores Q4 y Q6 en estado de alta impedancia.

Así, la corriente circula a través de Q1, siguiendo por el paralelo motor-Cm-Rm, después del cual llega a tierra mediante Q3.

Si el giro del motor ha de efectuarse en sentido contrario, la señal del pin 9 será alta y la del pin 13 baja. En este caso los transistores Q4, Q5 y Q6 se hallan encendidos, mientras que Q1, Q2 y Q3 mantienen su alta impedancia.

Cuando las señales provenientes de los pines 9 y 13 son bajas, el motor es desenergizado.

## 1.6 Pinza neumática

La pinza con la que cuenta el brazo es de acción neumática, es decir funciona a través de aire comprimido. Esta puede adquirir solamente dos posiciones: abierto y cerrado.

El paso del aire es regulado por una válvula solenoide (ver fig. 1.14). Una válvula solenoide es una válvula cuyo vástago (extensión del elemento interruptor del flujo) se halla gobernado por un solenoide que se ha embobinado a su alrededor. Al hacer circular corriente por dicho solenoide se produce un campo magnético que desplaza al vástago en cierta dirección, ya que éste se encuentra hecho de un material ferromagnético.

Cuando es energizada, el vástago se mueve, permitiendo el paso del aire hacia la pinza. Si se desenergiza, el vástago regresa a su posición de reposo por acción de un resorte interno; el paso del aire es suprimido y la presión hacia la pinza es liberada.

Dentro del cuerpo de la pinza, el aire a presión impulsa un pistón hasta su extremo final, el cual está unido a un perno que por disposición mecánica cierra dos barras. Cuando la presión cede, el pistón regresa a su posición normal impulsado por un resorte interno, y las barras se separan.

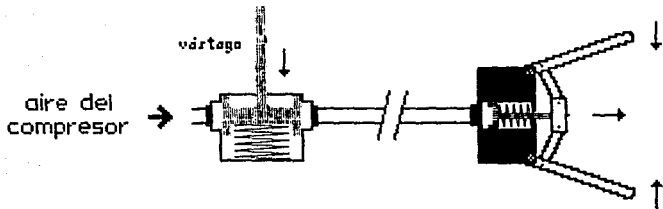


fig. 1.14 - Diagrama que muestra el funcionamiento del sistema neumático de la pinza

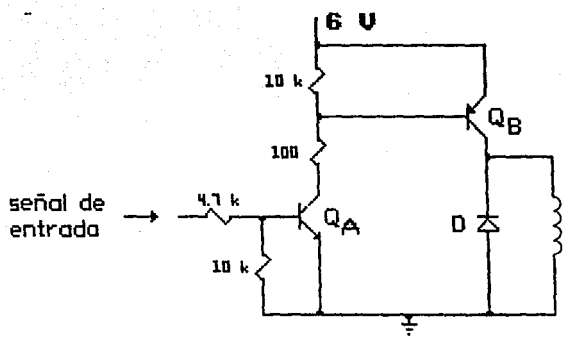
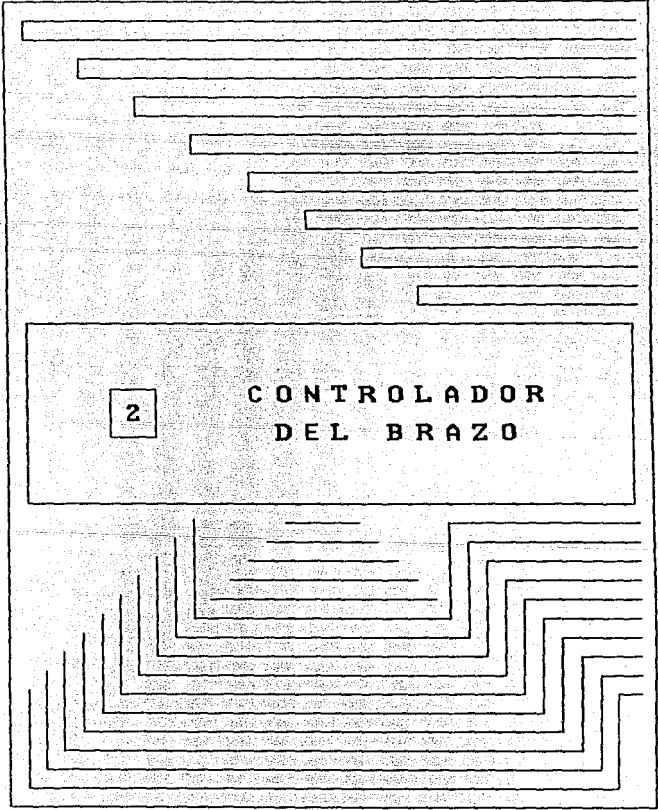


fig. 1.15 - Diagrama correspondiente al circuito amplificador para el manejo de la válvula solenoide.  
(QA = BC184L, QB = BD434, D = IN4001)

En la tarjeta sobre la que se hallan montados los circuitos correspondientes a las etapas de control y de potencia del brazo, se encuentra también otro pequeño circuito que proporciona la corriente necesaria para energizar el solenoide de la válvula (ver fig. 1.15). Cuando la señal de entrada es alta, el transistor  $Q_A$  es encendido, provocando que  $Q_B$  alcance el mismo estado. Así, el solenoide es energizado y produce el movimiento del vástago.

Si la señal de entrada adquiere un nivel bajo, los transistores son apagados y se interrumpe el paso del aire por la desenergización del solenoide.



El controlador es una unidad que entrelaza al brazo mecánico y al equipo de cómputo, la cual realiza las siguientes funciones:

- a) Convierte la información enviada por el computador en señales propias para el movimiento del brazo y para el control de los procesos de salida.
- b) Retiene la información de los procesos de entrada (sensores y teclado) para que pueda ser leída por el computador.
- c) Contiene la fuente de poder que alimenta al brazo.

## 2.1 Señales de entrada

MA0	1	2	NC
MA1	2	4	NC
MA2	5	6	NC
MA3	7	8	SEL
MA4	9	10	NC
MD	11	12	X/W
DB0	13	14	DB7
DB1	15	16	DB6
DB2	17	18	DB5
DB3	19	20	DB4
NC	21	22	NC
NC	23	24	NC
NC	25	26	NC
NC	27	28	NC
NC	29	30	NC
NC	31	32	NC
NC	33	34	NC

fig. 2.1 - Señales en el conector interno del controlador

Las señales recibidas por el controlador pueden ser clasificadas en tres tipos: señales de control, señales de dirección y señales de datos.

En la fig. 2.1 se muestra la distribución de señales en el conector de la tarjeta del controlador.

a) Señales de control. Son aquellas que permiten una acción directa sobre el controlador, y son:

-  $\overline{\text{SEL}}$  ---> Cuando se encuentra en un nivel lógico bajo (pin 8) permite realizar cualquier operación sobre el controlador, ya sea de lectura o escritura. Por así decirlo es la señal maestra que dirige al controlador.

-  $\overline{\text{READ/WRITE}}$  ---> Indica la operación que se va a realizar: lectura (READ, habilitada con nivel alto) o escritura (WRITE, habilitada con nivel bajo). y siempre relativa al controlador.

b) Señales de dirección. Corresponden a los bits de dirección.

la cual permite seleccionar un servo o un puerto de entrada o salida en particular. Estas señales son:

MA0 (pin 1)  
 MA1 (pin 3)  
 MA2 (pin 5)  
 MA3 (pin 7)  
 MA4 (pin 9)

El bit más significativo viene dado por MA4. De este modo tenemos la siguiente relación de direcciones:

<-- DIRECCION --->				<-- PARTE CORRESPONDIENTE -->
MA3	MA2	MA1	MA0	
0	0	0	0	Servo 0 (Rotate)
0	0	0	1	Servo 1 (Shoulder)
0	0	1	0	Servo 2 (Arm)
0	0	1	1	Servo 3 (Wrist)
0	1	0	0	Servo 4 (Hand)
1	0	0	0	Teclado
1	0	0	1	Salida al display *
1	0	1	0	Entrada procesos I - B
1	0	1	1	Salida procesos I - B *
1	1	0	0	Entrada procesos II - IB *
1	1	0	1	Salida procesos II - IB *

1	1	1	0	Deshabilita controlador
1	1	1	1	Habilita controlador

\* Sólo para diseños de tipo industrial  
x Se incluyen sólo los 4 primeros como estándar

Notese que la señal MA4 no se utiliza, debido a que está considerada en forma general, pero sólo se le incluye en diseños de tipo industrial. Por lo tanto se tomará siempre con un valor de 0.

Ya que la dirección 1001 (salida al display) no tiene uso en este tipo de controlador, al bit de datos menos significativo de ésta se le utiliza para el manejo de la pinza neumática. Sin embargo, se mencionará que un display externo de 7 segmentos podría ser utilizado, conectando las líneas de salida de esta dirección a cada uno de los segmentos. Otra opción de conexión sería pasar las líneas de salida por un par de convertidores a 7 segmentos, y de ahí a otro par de displays, con lo cual se lograría el despliegado de valores más altos que en el caso anterior.

La dirección 1010 (entrada procesos 1 - 8) es usada para obtener información del exterior (equipo adicional; p.ej. sensores). A cada línea de datos se le

asocia un proceso. En contraste, la dirección 1011 (salida procesos 1 - 8) se emplea para dar salida a información con un propósito general (puede enviarse a equipo externo; p.ej. relevadores, válvulas de control, motores de pasos).

Después de encenderse, el controlador se halla en un estado deshabilitado, por lo que debe de accesarse la dirección 1111 para dejarlo en posibilidad de ser utilizado (se efectúa con la señal BEL en bajo, sin importar el nivel de las líneas restantes). Hecho ésto, automáticamente los servomotores son energizados y colocados en una posición extrema: misma que la obtenida al dar un valor FF hex, según bits de datos (su significado se verá más adelante).

c) Señales de datos. Representan a los bits del bus de datos

DB0 (pin 13)	relativos al servo o puerto, indicado
DB1 (pin 15)	por los bits de dirección MA0 - MA4. El
DB2 (pin 17)	bit más significativo es representado
DB3 (pin 19)	por DB7. Puede verse entonces que el
DB4 (pin 20)	dato a manejar va de 00H a FFH, es decir
DB5 (pin 18)	puede tomar 256 posibles valores.
DB6 (pin 16)	
DB7 (pin 14)	

U1, U2, U14, U15	→ 74LS374
U3, U4, U5, U9, U17	→ 74LS123
U6, U13	→ 74LS133
U7	→ 555
U8, U12, U16	→ 74LS191
U10	→ 74LS157
U11	→ 74S93

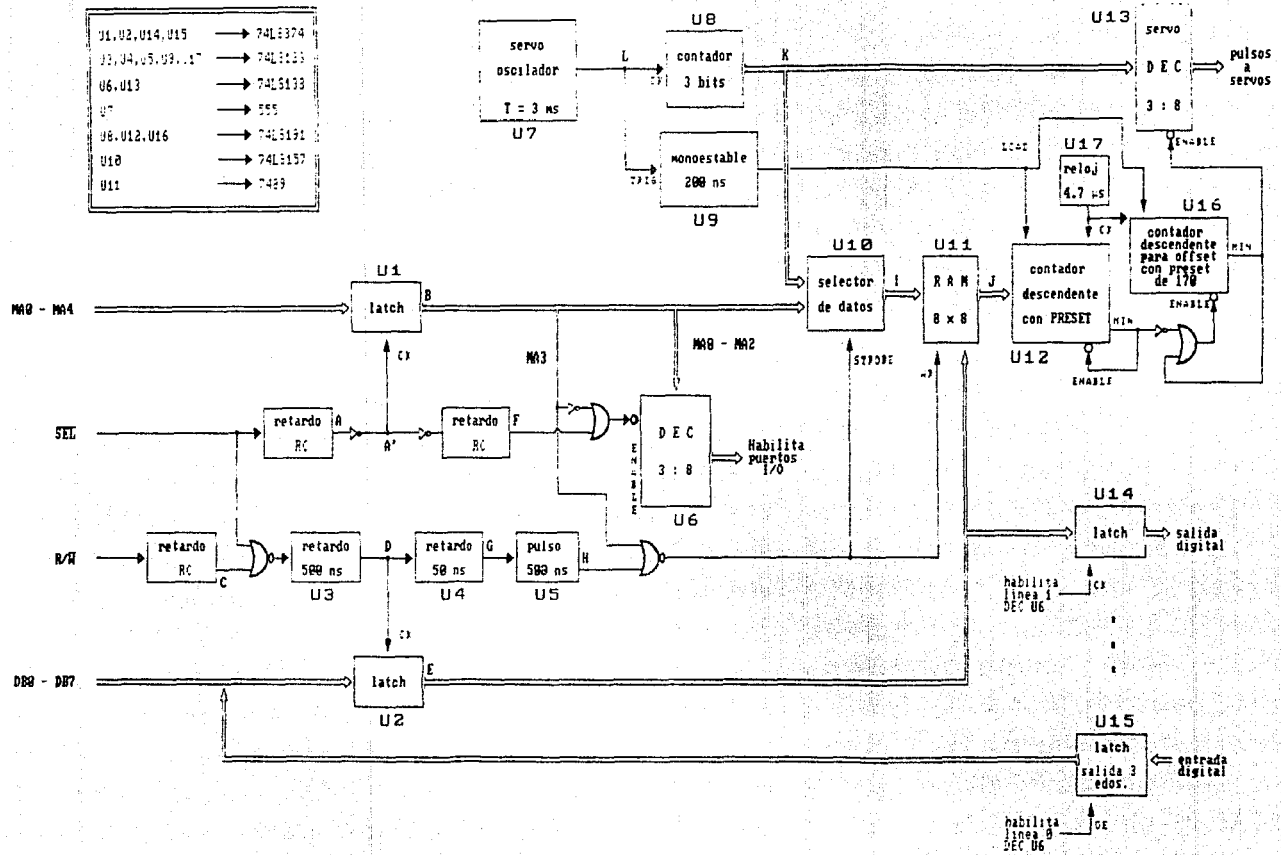


Fig. 2.2 - Esquema general del controlador

## 2.2 Esquema general y funcionamiento

El esquema del controlador se muestra en la fig. 2.2, y habrá de irse consultando a la vez que se leen los siguientes párrafos.

Cuando la señal SEL adquiere un nivel bajo (ver fig. 2.3), el flanco de bajada genera la señal de reloj para que los bits de dirección MA0 - MA4 sean cargados en un latch (U1), de modo que se mantengan estables durante la operación.

Si la señal R/W es baja (operación de escritura), al combinarse con  $\overline{\text{SEL}}$  (estado bajo) habilita la carga de datos (líneas DB0 - DB7) en un latch (U2).

Los retardos permiten que las señales se estabilicen para poder ser utilizadas.

La señal SEL junto con MA3 controlan las salidas del decodificador (U6) de puertos de entrada/salida (ver fig. 2.4). De este modo, cuando MA3 es baja, la operación se refiere a alguno de los servomotores, y el decodificador se halla deshabilitado. Si por el contrario esta señal es alta, el decodificador habilita la salida correspondiente de acuerdo con los bits indicados por MA0 - MA2 (siempre y cuando SEL se encuentre en un estado bajo).

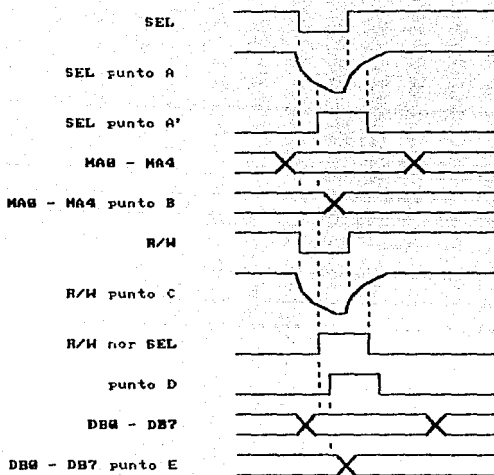


fig. 2.3 - Diagramas de tiempo correspondientes a las señales involucradas en la carga de dirección y dato en el controlador

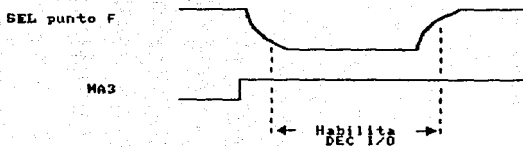


fig. 2.4 - Diagrama de tiempo correspondiente a la habilitación del decodificador de entrada/salida

Si la salida del decodificador que ha sido habilitada corresponde a un puerto de salida, se efectúa la carga de datos en el latch indicado (p.ej. U14). Tratándose de un puerto de entrada, la salida del decodificador ocasiona que la información registrada en el latch de dicho puerto (p.ej. U15) pueda acceder al bus de datos (líneas DB0 - DB7) en su etapa inicial, para así transferirla al computador.

### 2.3 Pulsos enviados al brazo, generados a partir de los datos de entrada

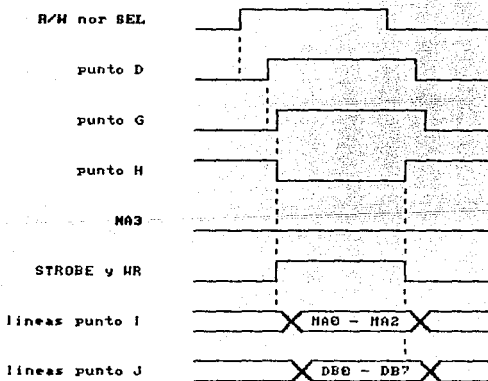


fig. 2.5 - Diagramas de tiempo correspondientes a la carga de datos de los servomotores

Una vez que SEL y  $\bar{R}/\bar{W}$  han sido combinadas (ver fig. 2.5), y siendo ambas bajas, se genera un pulso bajo de 500 ns de duración (U5), que junto con MA3 baja (que indica que la dirección se refiere a los servos) produce que el selector de datos (U10) permita que las líneas MA0 - MA2 direccionen la RAM, y que el dato que se halla en el latch U2 sea almacenado en dicha dirección por la aparición de la señal de habilitación de escritura.

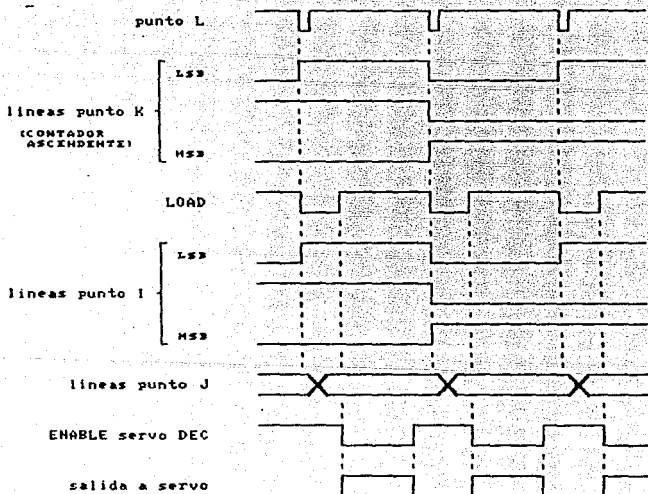


fig. 2.6 - Diagramas de tiempo correspondientes al multiplexado de salidas a los servomotores

El contador de 3 bits (U8) va proporcionando la dirección de cada uno de los servos (ver fig. 2.6), lo cual permite generar uno a uno los pulsos que parten hacia éstos. Normalmente la señal de selección de datos es baja, por lo que el selector de datos (U10) da salida a las líneas del contador, direccionando así a la RAM.

Un servo-oscilador (U7, el cual es un circuito 555) genera un pulso bajo cada 3 ms, incrementando de este modo la salida del contador U8 y permitiendo la carga inicial del contador descendente de 8 bits (U12) con el dato correspondiente que se halla en RAM (el monoestable de 200 ns (U9) da tiempo a que se establezca dicho dato). A la vez que el dato es cargado en U8, el contador para offset (U16) es inicializado con un valor ya alambreado de 170.

La señal que genera el contador descendente al llegar a cero habilita a un contador auxiliar (U16) que proporciona un offset de 0.8 ms ( $170 \times 4.7 \mu s$ )\*. Así, la salida del decodificador de servos (U13) indicada por el contador de 3 bits, se mantiene activa por el tiempo que tarda el contador descendente desde que es cargado hasta que llega a cero, más el offset indicado.

\* La razón de este valor para el offset se basa en especificaciones del NE544, ya que el pulso de entrada genera movimiento en el motor cuando su duración es mayor a 0.6 ms.

El pulso de salida tiene una duración de entre 0.8 ms (para un dato inicial de 00H) y 2 ms (para un dato inicial de FFH). De este modo, la señal se encuentra modulada por duración de pulso, y va directamente como entrada al servo-controlador NE544 (tratado en el capítulo 1). Estos dos pulsos determinan las posiciones extremas del servomotor correspondiente en el brazo. Dado que se tiene un valor máximo de 255 (FFH) y considerando que los servos poseen 120° de amplitud de giro, a cada unidad del dato se le asocia una diferencia de  $8/17^\circ$  ( $120/255$ ).

#### 2.4 Teclado

El teclado es una unidad auxiliar que se halla conectada al controlador, mediante la cual pueden ingresarse datos a éste.

El valor de alguna tecla presionada puede ser obtenido accediendo a la dirección 8, correspondiente al puerto de entrada del teclado.

En la fig. 2.7 se muestra la distribución de teclas y el valor de cada una de ellas.

Esta unidad se halla conectada a un codificador de teclado, el cual proporciona una parte de los valores mostrados en la figura anterior. La conexión puede consultarse en la fig. 2.8.

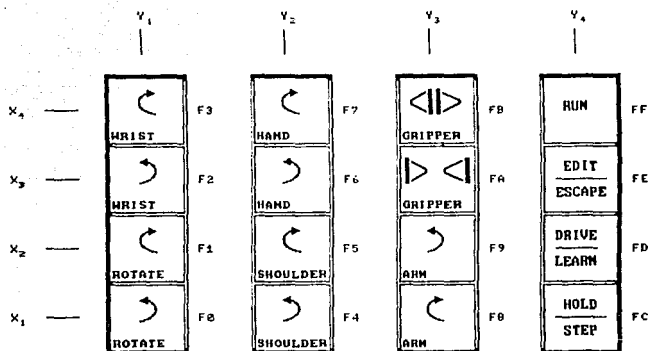


fig. 2.7 - Distribución y valores de teclas en la unidad conectada al controlador

El codificador identifica cada una de las teclas a través de pares únicos de valores  $(x, y)$ , correspondientes a sus posiciones (ver fig. 2.7). De este modo, al presionar alguna tecla se obtiene como salida su código asociado, dado por los bits DCBA. Adicionalmente, la señal DA indica si alguna tecla se ha presionado, en cuyo caso adquiere un nivel lógico alto. Nótese que los tres bits más significativos de entrada al latch son permanentemente altos, de ahí que junto con la señal DA se produzca F como el dígito hexadecimal más significativo del código de las teclas.

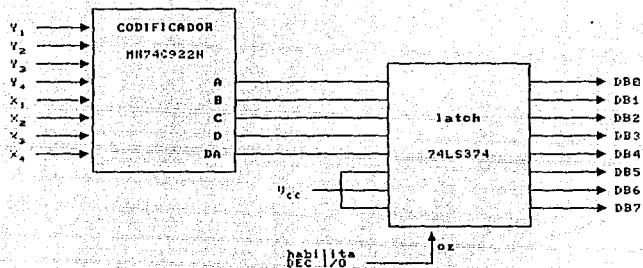


fig. 2.8 - Diagrama de conexión del circuito codificador de teclado y latch de entrada

Si ninguna tecla es presionada, el codificador mantiene los bits DCBA con el nivel de la última tecla registrada, y la señal DA en bajo. Esto origina que se obtenga un valor E# hexadecimal al acceder la dirección del teclado, donde # es el dígito menos significativo de la anterior tecla presionada.

## 2.5 Señal de control para la pinza neumática

Como se indicó en el punto 2.1, mediante la dirección 1001 (salida al display) se maneja la señal de control para la pinza

neumática. El efecto de dicha señal sobre la pinza se vio ya en el punto 1.6.

A dicha dirección se le asocia únicamente un latch de salida, tal y como se muestra en la fig. 2.9.

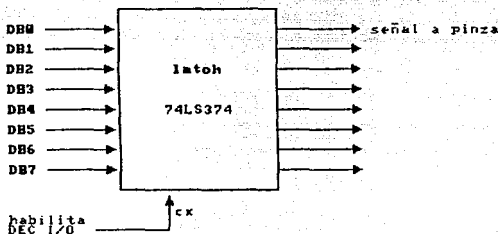


fig. 2.9 - Configuración de la dirección de salida al display, utilizada en este caso para el envío de la señal de control de la pinza neumática

## 2.6 Sensores

Las señales de entrada de procesos pueden ser obtenidas de sensores externos, por lo cual se incluya información al respecto.

Los sensores son dispositivos de entrada que detectan cambios físicos en su ambiente inmediato y los transforman en variaciones de energía eléctrica.

Los sensores por su función pueden dividirse en dos categorías: sensores de estado interno y sensores de estado externo.

Los sensores de estado interno detectan la posición y se utilizan para el control.

Los sensores de estado externo detectan el alcance, la proximidad, el contacto y las características del medio ambiente. Se usan para la manipulación e identificación de los objetos.

a) Sensor de alcance --> Este sensor mide la distancia desde un punto de referencia hasta el objeto a detectar. Se utiliza para conocer las características de localización y forma general de objetos.

b) Sensor de proximidad --> Este sensor detecta la presencia de un objeto dentro de un intervalo de distancia específico.

c) Sensor de contacto --> Este sensor proporciona información

asociada con el contacto entre éste y los objetos. Es decir, la presencia o ausencia, la torsión y el deslizamiento de un objeto.

Existen dos tipos de sensores: digitales y analógicos.

**Sensores digitales.** - Son los que detectan la presencia o ausencia de una condición. Cambian su estado de salida ante la presencia de un blanco adecuado dentro del radio de sensibilidad de la unidad; generando un bit cuyo valor corresponde a dicho estado. El cambio tiene lugar sin la necesidad de contacto físico. Entre estos sensores destacan:

1) **Sensores ópticos** --> Este tipo de sensores emite un haz infrarrojo sobre una superficie reflejante que regresa el haz nuevamente al sensor. Cuando un objeto aparece frente al sensor, éste obstruirá la trayectoria del haz y por lo tanto se presentará un cambio de estado.

Un sensor óptico está constituido por un diodo emisor de luz de estado sólido (LED), que actúa como un transmisor de luz infrarrojo y un fotodiodo de estado sólido que actúa como el receptor.

Estos sensores tienen un radio de sensibilidad de hasta 8 metros.

- 2) **Sensores inductivos** --> Estos sensores producen un campo magnético que detecta la presencia de metales ferrosos o no ferrosos y otros materiales con características magnéticas.

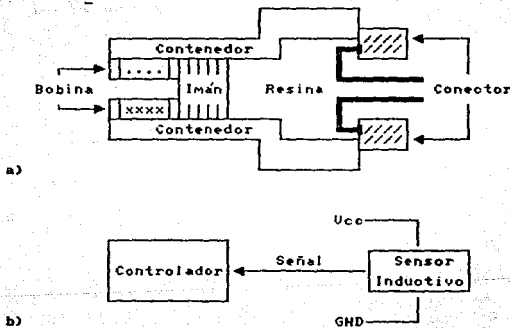


fig. 2.10 - Sensor inductivo:  
a) Esquema; b) Conexión

Un sensor inductivo consiste fundamentalmente en una bobina situada junto a un imán permanente

encapsulado en un receptáculo simple y robusto (ver fig. 2.10). El efecto de llevar el sensor a la proximidad de un material ferromagnético produce un cambio en la posición de las líneas de flujo del imán permanente. En condiciones estáticas no hay ningún movimiento de las líneas de flujo, y por consiguiente no se induce corriente en la bobina. Sin embargo, cuando un objeto ferromagnético penetra en el campo del imán o lo abandona, el cambio resultante en las líneas de flujo induce un impulso de corriente, cuya amplitud y forma son proporcionales a la velocidad de cambio en el flujo.

3) **Sensores capacitivos** -- Estos sensores detectan un cambio en la capacitancia, ocasionado por un objeto cercano al sensor. Son potencialmente capaces de detectar la presencia de cualquier material, con mayor sensibilidad a objetos con características dieléctricas.

Un sensor capacitivo está constituido por un electrodo sensible y un electrodo de referencia, separados por un material dieléctrico (ver fig. 2.11). Una cavidad de aire seco se suele colocar detrás del sensor para proporcionar aislamiento.

El resto del sensor está constituido por circuitos electrónicos que pueden incluirse como una parte integral de la unidad, en cuyo caso suelen estar cubiertos en una resina para proporcionar soporte mecánico y sellado.

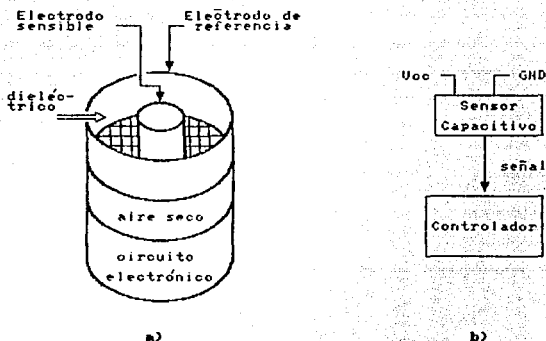


fig. 2.11 - Sensor capacitivo:  
a) Esquema; b) Conexión

**Sensores analógicos.** - Un sensor analógico detecta las condiciones variables de un objeto. En consecuencia, el nivel de la señal de salida (voltaje o corriente) variará continuamente en proporción a la condición sensada.

La conexión de este tipo de sensores al controlador requiere de una etapa previa de conversión analógico-digital, ya que se pueden recibir únicamente señales digitales.

Entre los sensores analógicos destacan :

- 1) Potenciómetro --> Es una resistencia variable cuyo voltaje de salida varía en proporción directa con la rotación de su eje.
- 2) Sensor de altura --> Este sensor es básicamente un potenciómetro, el cual tiene una palanca; éste empujará la palanca hacia arriba haciendo rotar su eje a través de un ángulo finito. El nivel del voltaje proporcionado por el cursor del potenciómetro estará en razón directa con la altura del objeto.
- 3) Sensor opto-reflexivo --> Este sensor emite un rayo infrarrojo, mismo que vuelve al sensor cuando se coloca un objeto reflectivo frente a él (ver fig. 2.12). La intensidad del rayo reflejado, y en consecuencia el voltaje de salida del sensor, variarán dependiendo del color del objeto.
- 4) Termistor --> Es una resistencia cuyo valor óhmico varía

con respecto a la temperatura. Los termistores de coeficiente térmico positivo (CTP) incrementan su resistencia conforme aumenta la temperatura y los de coeficiente térmico negativo (CTN) disminuyen su valor resistivo a medida que aumenta la temperatura.

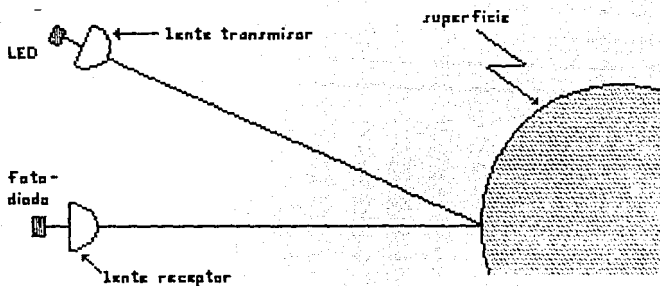


fig. 2.12 - Esquema que muestra el principio del funcionamiento de un sensor opto-reflectivo

## 2.7 Fuente de poder

La fuente de poder incluida en el controlador alimenta a

tres diferentes partes:

- Circuitos lógicos del controlador y del brazo (5V, 1A)
- Circuitos de la etapa de potencia del brazo (6V, 3A)
- Servos 3 y 4 (5V, 1A) .

El diagrama de dicha fuente se muestra en la fig. 2.13.

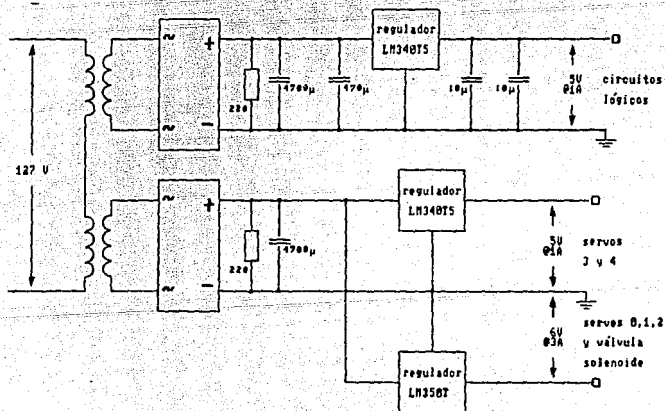
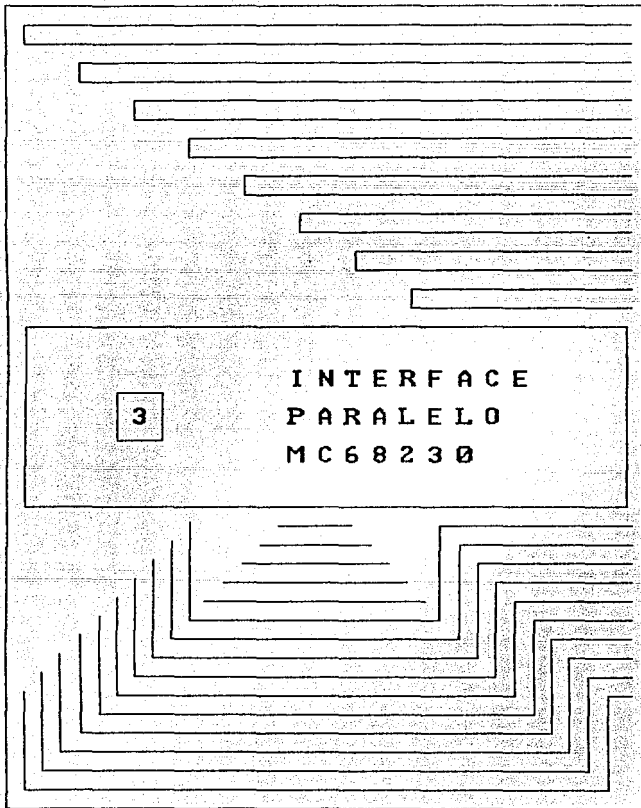


fig. 2.13 - Diagrama de la fuente de poder incluida en el controlador del brazo



El kit educativo MEX68KECB es un sistema mínimo que puede realizar funciones de una microcomputadora basada en los productos de la familia 68000.

Las características del kit pueden resumirse como:

- Frecuencia de operación de 4MHz.
- 32Kbytes de RAM dinámica.
- Dos puertos de comunicación serial (para host y terminal) compatibles con la interface RS-232C, y con capacidad de selección de velocidad de transmisión.
- Un puerto paralelo que puede ser usado para entrada/salida o como interface para impresora.
- Un puerto serial de entrada/salida para audio-cassette.
- Cuenta con firmware en ROM/EPROM, el cual consiste del sistema operativo TUTOR de 16kbytes de tamaño. Éste cuenta con un depurador y funciones de ensamblado y desensamblado.
- Se puede enviar/recibir información a/de un host.
- Cuenta con switches para abortar programas (ABORT) y reinicializar el sistema (RESET).

El MC68230 (PI/T) es una interface para la transferencia de datos en paralelo entre los circuitos de la familia 68000 y los dispositivos periféricos.

Las principales características del PI/T son :

- Consta de 3 puertos programables e independientes. Cada uno de ellos es de 8 bits, bidireccional y con líneas de protocolo para el control de transferencia de datos.
- Su función puede ser interface de comunicación en paralelo y/o contador/temporizador de 23 bits.
- Cuenta con 32 registros internos, de los que sólo se utilizan 23 para la programación de las características de operación. Los primeros 14 registros se refieren a la comunicación en paralelo y los restantes al contador/temporizador.
- Cuatro modos de operación para comunicación, seleccionables por software.

### 3.1 Arquitectura interna del PI/T

Consiste de una interfaz hacia el CPU, lógica de control de acceso directo a memoria (DMA), interrupciones y protocolo, tres puertos y un temporizador. En la fig. 3.1 se muestra el diagrama de bloques funcional del PI/T.

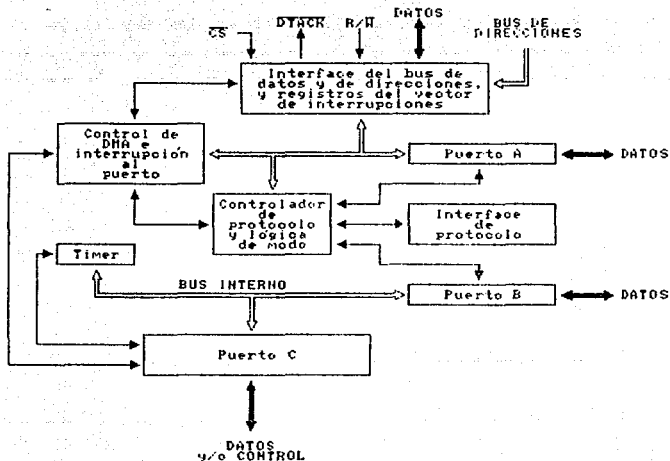


fig. 3.1 - Diagrama a bloques del circuito MC68230

### 3.1.1 Descripción de los registros del PI/T

En este trabajo, sólo se hará uso del PI/T como interface en paralelo.

A continuación se describe brevemente cada uno de los registros internos del PI/T:

**Registro 00H.** Control general de los puertos. Se selecciona el modo de operación, se habilita y definen las características de las líneas de protocolo.

**Registro 01H.** Petición de atención a interrupción. Se definen las señales de control necesarias para la comunicación de datos entre el MC68000, el PI/T y los dispositivos periféricos.

**Registro 02H.** Dirección de líneas del puerto A. Se selecciona la dirección de cada una de las líneas del puerto. Cada bit corresponde a una línea del puerto. Si se le asigna un 0, la línea será de entrada; si se le asigna un 1, la línea se define como salida.

**Registro 03H.** Dirección de líneas del puerto B. Funciona igual que el registro 02H, pero para el puerto B.

**Registro 04H.** Dirección de líneas del puerto C. Funciona

igual que el registro 02H, pero para el puerto C.

**Registro 05H. Vector de interrupciones.** Almacena los 6 bits más significativos de los 8 que definen al vector de interrupciones. Los 2 bits menos significativos son proporcionados por la fuente de la interrupción, a través de las líneas de protocolo.

**Registro 06H. Control del puerto A.** Se selecciona el submodo del puerto A y las características de las líneas de protocolo. Este registro se debe de leer o escribir primero, debido a que la transferencia de información se hace a través de las B líneas.

**Registro 07H. Control del puerto B.** Se selecciona el submodo del puerto B y las características de las líneas de protocolo.

**Registro 08H. Datos del puerto A.** Se hace referencia a este registro cuando se desea leer/escribir datos en el puerto A.

**Registro 09H. Datos del puerto B.** Se hace referencia a este registro cuando se desea leer/escribir datos en el puerto B.

**Registro 0AH. Alternó de datos del puerto A.** Es un registro

alterno para la lectura de datos del puerto A. Proporciona información de los niveles lógicos en los pines correspondientes al puerto en el circuito.

Registro OBH. Alternativo de datos del puerto B. Funciona igual que el registro OAH, pero para el puerto B.

Registro OCH. Datos del puerto C. Funciona igual que el registro OBH, pero para el puerto C.

Registro ODH. Estado de los puertos. Contiene el valor actual de las líneas de protocolo y del estado de los puertos. Este estado se refiere a si se puede enviar o recibir información.

### 3.1.2 Decodificación de los puertos

En el kit, cada registro interno de los puertos tiene asociada una dirección del mapa de memoria. Enseguida se listan las direcciones de acceso:

<u>Registro</u>		<u>Dirección</u>
00H	->	10001H
01H	->	10003H
02H	->	10005H

03H	->	10007H
04H	->	10009H
05H	->	1000BH
06H	->	1000DH
07H	->	1000FH
08H	->	10011H
09H	->	10013H
0AH	->	10015H
0BH	->	10017H
0CH	->	10019H
0DH	->	1001BH

### 3.2 Modos de programación

Las líneas de los puertos A y B se pueden programar como entrada, salida o líneas bidireccionales, ya sea como puertos independientes o trabajando como uno de 16 bits.

Las líneas del puerto C pueden programarse para entrada-salida o como líneas de control para el manejo de interrupciones, para el manejo del PI/T en su función de contador/temporizador o para el acceso directo a memoria.

Los modos bajo los cuales opera el PI/T son:

- a) Modo 00 --> Unidireccional de 8 bits. Se debe seleccionar la direccin de cada una de las lneas del puerto.
- b) Modo 01 --> Unidireccional de 16 bits. En este modo de operacin el puerto A proporciona el byte de datos ms significativo para entrada o salida, y el puerto B proporciona el byte de datos menos significativo. Se debe seleccionar la direccin de cada una de las lneas de los puertos.
- c) Modo 10 --> Bidireccional de 8 bits. En este modo de operacin, cada uno de los puertos tiene una diferente funcin:

En el puerto A se define la direccin de cada una de las lneas, la transferencia se hace sin protocolo, y el envio/recepcin de datos se hace monitoreando las lneas del puerto.

En el puerto B se tiene un flujo de datos bidireccional. Las 8 lneas tienen la misma direccin.

- d) Modo 11 --> Bidireccional de 16 bits. La comunicacin en los puertos A y B es bidireccional. El puerto A proporciona el byte ms significativo y el puerto B el menos significativo. Las lneas de protocolo controlan la entrada y la salida.

Los registros de dirección de las líneas de los puertos A y B no se usan en este modo, ya que la dirección se determina a través de las líneas de protocolo.

La programación del PI/T se hace a través de los registros internos.

### 3.3 Modo seleccionado de programación

Para la transferencia de datos entre el kit MEX68KECB y el controlador del brazo mecánico, no fue necesario hacer uso de la lógica de control de interrupciones del PI/T.

El PI/T se programó en modo de operación 01 (unidireccional de 16 bits).

Como el controlador recibe dos parámetros (dirección y dato), se seleccionó al puerto A para enviar la dirección y señales de control, y al puerto B para enviar/recibir el dato.

En el kit se encuentran alambradas las líneas del puerto A únicamente como salida, por lo que a través de él se envía la dirección a accesar y las señales R/W y SEL al controlador.

Las líneas del puerto B cambian su dirección de acuerdo a la tarea a realizar. Es decir, en modo salida cuando se envían datos al controlador, y en modo entrada cuando se lee un dato del controlador.

### 3.4 Registros utilizados y distribución de señales en los puertos

El dato y las instrucciones para la programación de cada uno de los registros utilizados se describe a continuación:

Registro OOH. Control general de los puertos. Se selecciona el modo de operación 01 y no se utilizan las líneas de protocolo. Su dirección de acceso es la 10001H.

bit:	7	6	5	4	3	2	1	0
valor:	0	1	0	0	0	0	0	0

#### Instrucciones:

```
MOVE.L #10001,A0 ; Dir. de acceso
MOVE.B #40,D0 ; Programa en modo 01
MOVEP.W D0,#0(A0) ; Envía al registro
```

**Registro 02H.** Dirección de líneas del puerto A. Todas las líneas están alambradas como salida. Su dirección de acceso es la 10005H.

bit:	7	6	5	4	3	2	1	0
valor:	1	1	1	1	1	1	1	1

Instrucciones:

```
MOVE.L #*10005,A0 ; Dir. de acceso
MOVE.B #*FF,D0 ; Programa en modo salida
MOVEP.W D0,*0(A0) ; Envía al registro
```

**Registro 03H.** Dirección de líneas del puerto B. La dirección de acceso es la 10007H.

Para el modo entrada:

bit:	7	6	5	4	3	2	1	0
valor:	0	0	0	0	0	0	0	0

Instrucciones:

```
MOVE.L #*10007,A0 ; Dir. de acceso
MOVE.B #*00,D0 ; Programa en modo entrada
MOVEP.W D0,*0(A0) ; Envía al registro
```

Para el modo salida:

bit:	7	6	5	4	3	2	1	0
valor:	1	1	1	1	1	1	1	1

Instrucciones:

```
MOVE.L #$10007,A0 ; Dir. de acceso
MOVE.B #$FF,DO ; Programa en modo salida
MOVEP.W DO,$0(A0) ; Envía al registro
```

**Registro 06H.** Control del puerto A. Se deshabilitan las líneas de protocolo, las interrupciones y el acceso directo a memoria. Su dirección de acceso es la 1000DH.

bit:	7	6	5	4	3	2	1	0
valor:	0	0	0	0	0	0	0	0

Instrucciones:

```
MOVE.L #$1000D,A0 ; Dir. de acceso
MOVE.B #$00,DO ; Control del puerto
MOVEP.W DO,$0(A0) ; Envía al registro
```

**Registro 07H.** Control del puerto B. Se deshabilitan las líneas de protocolo, las interrupciones y el acceso directo a memoria. Su dirección de acceso es la 1000FH.

bit:	7	6	5	4	3	2	1	0
valor:	0	0	0	0	0	0	0	0

Instrucciones:

```

MOVE.L #1000F,A0 ; Dir. de acceso
MOVE.B #00,DO ; Control del puerto
MOVEP.W DO,$0(A0) ; Envía al registro

```

Registro 08H. Datos del puerto A. Contiene la dirección a utilizar del controlador y las señales de  $R/\overline{W}$  y  $\overline{SEL}$ . El valor de este registro es variable. Su dirección de acceso es la 10011H.

bit:	7	6	5	4	3	2	1	0
valor:	$R/\overline{W}$	$\overline{SEL}$	*	MA4	MA3	MA2	MA1	MA0

Instrucciones:

```

MOVE.L #10011,A0 ; Dir. de acceso
MOVEP.W DO,$0(A0) ; Recibe en el puerto A

```

Registro 09H. Datos del puerto B. Contiene el dato de salida al controlador. El valor del dato es variable. Su dirección de acceso es la 10013H.

bit:	7	6	5	4	3	2	1	0
valor:	DB7	DB6	DB5	DB4	DB3	DB2	DB1	DB0

Instrucciones:

```

MOVE.L #$10013,A0 ; Dir. de acceso
MOVE.B #<valor>,D0 ; Datos del puerto
MOVEP.W D0,$0(A0) ; Envía al puerto B

```

### 3.5 Conexión MEX68KECB - controlador

En el capítulo 2 se explicó la distribución de señales como entradas en la tarjeta del controlador. Sin embargo el gabinete posee un conector exterior, que es el que tiene relación física con el computador a través de un cable plano de 34 líneas, y cuya distribución de señales es diferente a la interna. El cruce de líneas se efectúa mediante un pequeño circuito impreso, en la forma siguiente:

<u>Señal</u>	<u>Conector a PC</u> (pin)	<u>Conector en tarjeta</u> <u>del controlador</u> (pin)
GND	1	11
R/W	2	12
	3	11
	4	NC
	5	11
	6	NC
	7	11
	8	NC
	9	11
<u>SEL</u>	10	8

	11	11
	12	NC
	13	11
	14	NC
	15	11
	16	NC
	17	11
DB0	18	13
DB1	19	15
DB2	20	17
DB3	21	19
DB4	22	20
DB5	23	18
DB6	24	16
DB7	25	14
	26	NC
MA0	27	1
MA1	28	3
MA2	29	5
MA3	30	7
MA4	31	9
	32	NC
	33	NC
	34	NC

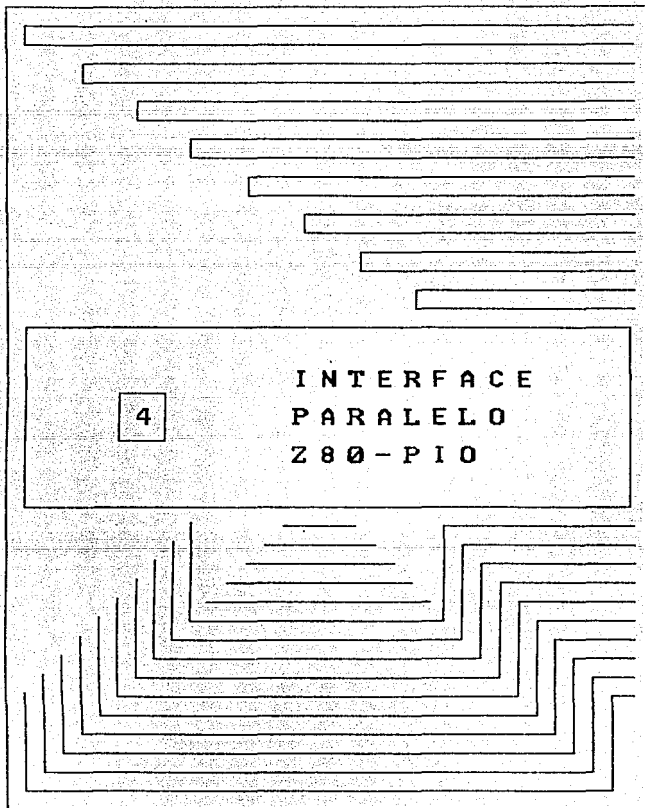
tabla 3.1 - Relación del cruce de líneas entre los conectores externo e interno del controlador

El kit MEX68KECB posee una ceja para conexión al exterior en la tarjeta del mismo, en la que se distribuyen 50 líneas para comunicación en paralelo (provenientes del MC68230), encontrándose todas las de denominación par conectadas a tierra.

La conexión MEX68KECB - controlador se efectuó con un cable plano de 50 líneas, un conector de 50 líneas para tarjeta (para el kit), y un conector hembra tipo peine de 34 líneas (para el controlador). Se cruzaron las líneas como se indica a continuación:

<u>Conector MEX68KECB</u>		<u>Conector controlador</u>	
señal	pin	pin	señal
PB7	9	25	DB7
PB6	11	24	DB6
PB5	13	23	DB5
PB4	15	22	DB4
PB3	17	21	DB3
PB2	19	20	DB2
PB1	21	19	DB1
PB0	23	18	DB0
PA7	25	2	R/W
PA6	27	10	SEL
PA4	31	31	MA4
PA3	33	30	MA3
PA2	35	29	MA2
PA1	37	28	MA1
PA0	39	27	MA0
GND	40	1	GND
	el resto	NC	

tabla 3.2 - Relación de líneas entre el conector del MEX68KECB y el del controlador



# ESTA TESIS NO DEBE SALIR DE LA BIBLIOTECA

El kit Z80 es un sistema mínimo que permite adquirir experiencia en el manejo de microcomputadoras basadas en la familia Z80.

El kit tiene como características:

- Frecuencia de operación de 2MHz.
- 1 Kbyte de memoria RAM.
- Una interface de entrada/salida en paralelo que provee de dos puertos.
- Un circuito contador/temporizador.
- Cuenta con teclado y displays de 7 segmentos.
- Una interface para salida a audio-cassette.
- Programador de memorias EPROM 2716/2758.
- Sistema operativo ZBUG de 2Kbytes de tamaño.
- Posee un botón para reinicializar al sistema (RESET).

El Z80-PIO es una interface para la transferencia de datos en paralelo entre el Z80-CPU y los dispositivos periféricos.

El PIO puede conectarse con una gran variedad de circuitos periféricos que no requieren lógica adicional; entre los más típicos se encuentran teclados, lectoras de cinta de papel, impresoras, programadores de PROM, LEDs, switches, motores de pasos, y en este caso un controlador de brazo mecánico.

Las principales características del PIO son :

- Consta de dos puertos programables e independientes. Cada uno de ellos es de 8 bits, bidireccional y con líneas de protocolo para el control de transferencia de datos.
- Interrupción programada en las líneas de control para una rápida tarea de entrada-salida.
- Lógica de interrupción con prioridades tipo cadena "daisy chain". Esto provee un mecanismo de interrupciones vectorizadas automático que no requiere de lógica externa.
- Cuatro modos de operación seleccionables por software.

#### 4.1 Arquitectura interna del PIO

Consiste de una interface hacia el CPU, lógica de control interna, un bloque de control de interrupciones y dos puertos, cada uno de los cuales está compuesto de 6 registros con lógica de control incluida.

En la fig. 4.1 se muestra el diagrama de bloques funcional del PIO.

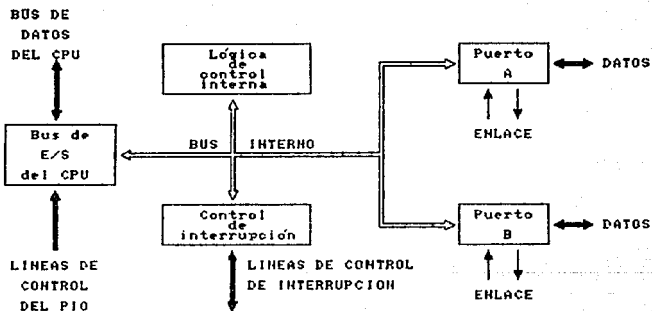


fig. 4.1 - Diagrama a bloques del circuito Z80-PIO

#### 4.1.1 Descripción interna de los puertos

La fig. 4.2 muestra el diagrama de bloques funcional de un puerto del PIO.

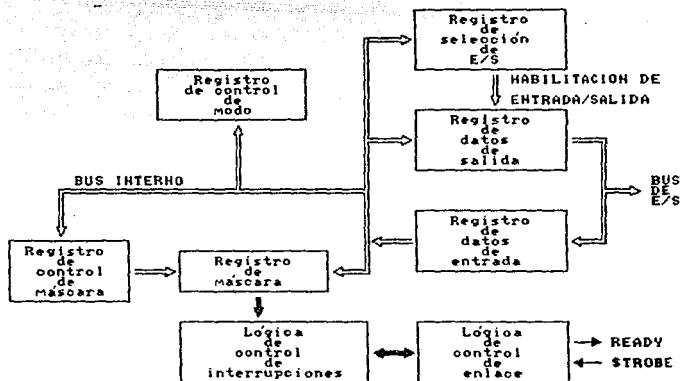


fig. 4.2 - Diagrama a bloques funcional de un puerto

A continuación se describe brevemente cada uno de los registros de un puerto:

- Registro de control de modo.- Palabra que carga el CPU para seleccionar el modo de operación.

- Registro de datos de salida.- Palabra de información que envía el CPU al dispositivo periférico.
- Registro de datos de entrada.- Palabra de información que envía el dispositivo periférico al CPU.
- Registro de selección de entrada-salida.- Sólo se utiliza en el modo 3 de operación. Palabra que carga el CPU para indicar la dirección (entrada o salida) de cada una de las líneas del puerto.
- Registro de control de máscara.- Sólo se utiliza en el modo 3 de operación. Palabra que carga el CPU para especificar el nivel activo (alto o bajo) de alguna de las líneas de un dispositivo periférico que se esté monitoreando, indica también si una interrupción puede ser generada cuando todas las líneas están activas (condición AND) o bien cuando alguna de ellas está activa (condición OR).
- Registro de máscara.- Sólo se utiliza en el modo 3 de operación. Palabra cargada por el CPU para seleccionar las líneas de un dispositivo periférico que se esté monitoreando para una condición de estado específica.

#### 4.1.2 Decodificación de los puertos

En el kit, las direcciones de los puertos del PIO son:

80H -> Datos de entrada-salida del puerto A

81H -> Datos de entrada-salida del puerto B

82H -> Datos de control del puerto A

83H -> Datos de control del puerto B

#### 4.2 Modos de programación

El PIO opera bajo los siguientes modos:

Modo 0.- Conocido como modo salida; se envía la información proveniente del CPU hacia los dispositivos periféricos a través de las 8 líneas del puerto.

Modo 1.- Conocido como modo entrada; se lee la información enviada por los dispositivos periféricos hacia el CPU a través de las 8 líneas del puerto.

Modo 2.- Es el modo bidireccional. sirve solamente para el puerto A, ya que utiliza las 4 señales de protocolo: las dos del puerto A y las dos del puerto B. Al seleccionar este modo de operación, el puerto B debe estar programado en modo bit.

Modo 3 .- Conocido como modo bit, se selecciona en forma independiente la dirección (entrada = 1 o salida = 0) de cada una de las 8 líneas del puerto.

La programación del PIO se hace a través de los registros internos de los puertos.

El PIO se diseñó para operar con el Z80-CPU usando el modo 2 de interrupción. Este modo requiere que un vector de interrupciones sea proporcionado por el dispositivo que interrumpe al CPU en el momento en que se reconoce la interrupción. Este vector es usado por el CPU para formar la dirección de la rutina de servicio de la interrupción.

El vector de interrupción se escribe en el registro de control del puerto seleccionado. El bit menos significativo debe tener como valor un 0, los demás indican la dirección.

Para seleccionar el modo de operación, el registro de control de modo debe tener el siguiente formato:

bit:	7	6	5	4	3	2	1	0
valor:	M1	M0	1	1	1	1	1	1

donde:

M1 M0

0 0 --> Modo 0 (Salida)  
0 1 --> Modo 1 (Entrada)  
1 0 --> Modo 2 (Bidireccional)  
1 1 --> Modo 3 (Bit)

Los bits 0, 1, 2 y 3 le indican al PIO que se está seleccionando el modo de operación.

En los modos 0, 1 y 2 las 8 líneas quedan programadas de igual manera. En cambio, en el modo 3 se debe indicar qué líneas serán de entrada y cuáles de salida. Para ésto se debe de escribir a continuación el registro de selección de entrada-salida, recordando que:

- Un 1 lógico significa que la línea es de entrada.
- Un 0 lógico significa que la línea es de salida.

La palabra de control de interrupción tiene el siguiente formato:

bit:	7	6	5	4	3	2	1	0
valor:	INT	AND/OR	H/L	MASCARA	0	1	1	1
	H/D							

El bit 7 habilita/deshabilita las interrupciones cuando tiene como valor 1/0, respectivamente.

El bit 6 solamente se utiliza en el modo 3 de operación y especifica el criterio a seguir para generar una interrupción. Un 1 lógico implica que todas las líneas deben ser activas para que se genere una interrupción, es decir se realiza una función AND. Un 0 lógico especifica que es suficiente la presencia de una sola línea para que se genere una interrupción, es decir se realiza una función OR.

El bit 5 solamente se utiliza en el modo 3 de operación y define el nivel lógico que se va a considerar activo (1/0).

Si el bit 4 está en 1 y se seleccionó el modo 3 de operación, entonces a continuación se deberá escribir el registro de máscara.

Aquellas líneas del puerto cuyos bits asociados de máscara están a 1 lógico serán monitoreados con el propósito de generar interrupciones (realizando la función AND/OR).

Si no se seleccionó el modo 3 de operación y el bit 4 tiene valor de 1, se cancelarán las interrupciones pendientes.

#### 4.3 Modo seleccionado de programación

Para realizar la comunicación entre el kit Z80 y el controlador del brazo mecánico, no fue necesario hacer uso de la lógica de control de interrupciones del PIQ.

Al igual que para el MEX68KECB, se seleccionó al puerto A para enviar la dirección y señales de control, y al puerto B para enviar/recibir el dato.

El puerto A se programó como modo 0 (salida); por él se direcciona al servo y se envían las señales de R/W y de SEL al controlador.

Debido a que la entrada/salida de los datos no se hace de manera simultánea, fue necesario programar al puerto B en dos modos diferentes de operación, los cuales se conmutan de acuerdo a la tarea a realizar. Es decir, en modo 0 cuando se envían datos al controlador, y en modo 1 cuando se lee un dato del controlador.

#### 4.4 Registros utilizados y distribución de señales en los puertos

A continuación se describe el formato de los registros de cada puerto del PIO, así como la forma de programarlos usando las instrucciones del lenguaje ensamblador del Z80-CPU:

##### Puerto A:

- Registro de control de modo --> Se seleccionó el modo 0 (salida) y se envió a través del puerto B2H el valor de 0FH.

bit:	7	6	5	4	3	2	1	0
valor:	0	0	0	0	1	1	1	1

##### Instrucciones:

```
LD A,0FH ; Carga al acumulador el modo 0
OUT (B2H),A ; Programa el puerto A
```

- Registro de datos de salida --> Este valor es variable y se envía a través del puerto B0H.

bit:	7	6	5	4	3	2	1	0
valor:	R/W	SEL	0	MA4	MA3	MA2	MA1	MA0

donde:

MA4, MA3, MA2, MA1, MA0 indican la dirección a acceder en el controlador.

Instrucciones:

LD A,<valor> ; Carga al acumulador el valor  
OUT (00H),A ; Da salida al dato

Puerto B:

- Registro de control de modo:

Para el modo 0 (salida) se envía a través del puerto B3H el valor de 0FH.

bit:	7	6	5	4	3	2	1	0
valor:	0	0	0	0	1	1	1	1

Instrucciones:

LD A,0FH ; Carga al acumulador el modo 0  
OUT (B3H),A ; Programa al puerto B

Para el modo 1 (entrada) se envía a través del puerto B3H el valor de 4FH.

bit:	7	6	5	4	3	2	1	0
valor:	0	1	0	0	1	1	1	1

**Instrucciones:**

LD A,4FH ; Carga al acumulador el modo 1  
 OUT (83H),A ; Programa al puerto B

- Registro de datos de Entrada/Salida --> El valor de este registro es variable. Se tiene acceso a él a través del puerto 81H.

bit:	7	6	5	4	3	2	1	0
valor:	DB7	DB6	DB5	DB4	DB3	DB2	DB1	DB0

**Instrucciones:**

En el caso de la lectura de datos:

IN A, (81H) ; El periférico proporciona un dato

En el caso de la escritura de datos :

LD A,<valor> ; Carga al acumulador el valor  
 OUT(81H),A ; Envía el dato al periférico

#### 4.5 Conexión kit Z80 - controlador

Se deben de tener en cuenta las consideraciones del punto 3.5, referentes al conector externo del controlador.

Para poder efectuar la conexión kit Z80 - controlador hubo de armarse un conector de peine de doble hilera, ya que el área de alambrado del kit no permitía ensamblar un conector comercial de este tipo, el cual había de corresponder al montado en el cable PC - controlador.

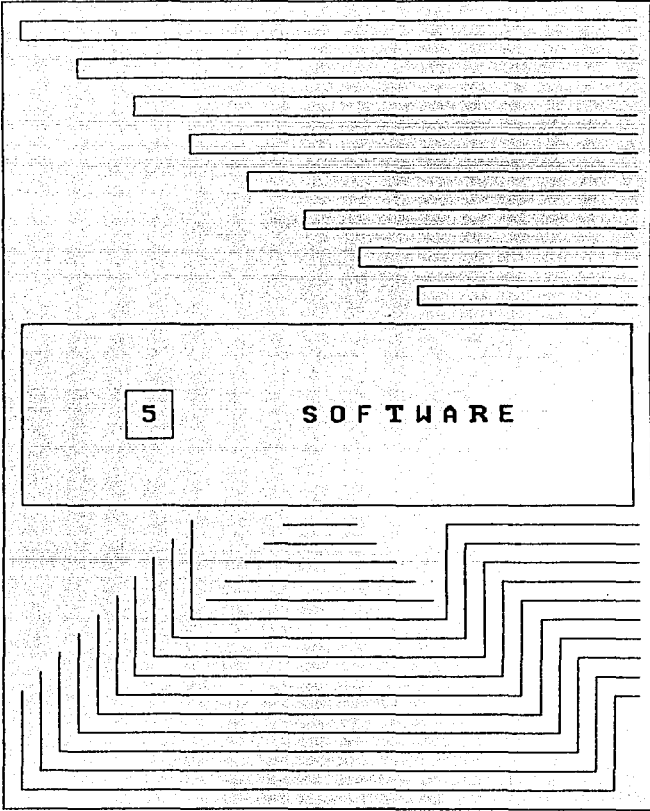
Así, en la conexión kit Z80 - controlador se empleó el cable que une al PC y al controlador, que consta de cable plano de 34 líneas y un par de conectores hembra tipo peine de 34 líneas. En éste la correspondencia de pines es uno a uno.

La distribución de líneas y su relación con el Z80-PID se muestra en la siguiente tabla:

<u>Conector kit Z80</u>		<u>Conector controlador</u>	
señal	pin	pin	señal
GND	1	1	GND
PA7	2	2	R/W
PA6	10	10	SEL
PB0	18	18	DB0
PB1	19	19	DB1

PB2	20	20	DB2
PB3	21	21	DB3
PB4	22	22	DB4
PB5	23	23	DB5
PB6	24	24	DB6
PB7	25	25	DB7
PA0	27	27	MA0
PA1	28	28	MA1
PA2	29	29	MA2
PA3	30	30	MA3
PA4	31	31	MA4

**tabla 4.1 - Relación de señales entre el conector del kit Z80 y el del controlador**



Con el software de control se pretende manejar al brazo mecánico de un modo sencillo a través del teclado del controlador, accionando cada uno de los servomotores para alcanzar cierta posición. El sistema se diseñó en base a subrutinas, incluyendo las siguientes características:

a) Programa principal que monitorea el teclado del controlador, y de acuerdo con el valor obtenido ejecuta una función específica.

b) Rutinas que llevan a cabo acciones bien definidas:

- Inicialización del controlador.
- Salida de datos a la interface paralelo del kit.
- Lectura del teclado.
- Actualización de la posición del brazo de acuerdo con la tecla oprimida.
- Modo de aprendizaje.
- Salida secuencial y en ciclo de las posiciones previamente aprendidas.
- Salida sólo a la siguiente posición aprendida.
- Retardo variable de propósito general, utilizado por otras rutinas.

## 5.1 Diseño del software de control

Este diseño es general, y válido para los dos microprocesadores empleados (MC68000 y Z80).

El teclado del controlador puede ser dividido en dos partes:

1) Teclas de movimiento del brazo --> Son aquéllas que indican qué parte del brazo ha de moverse. Sus valores van de FOH a FBH inclusive (según fig. 2.7).

2) Teclas de control --> Son aquéllas que indican alguna función a realizar. Se localizan sobre la columna derecha extrema del teclado, cuyos valores van de FCH a FFH inclusive \*.

Al momento de presionar alguna tecla es necesario obtener la siguiente información:

a) Conocer si la tecla en cuestión es de control o de movimiento. Esto puede realizarse con una simple comparación dentro del programa, ya que se tiene un valor límite entre los dos rangos de teclas.

\* Las teclas marcadas como HOLD/STEP, DRIVE/LEARN y EDIT/ESCAPE (valores FCH a FEH) serán tratadas en este sistema de acuerdo con la segunda función que indican (STEP, LEARN y ESCAPE), dadas las características del mismo. En el caso de que llegara a desarrollarse un futuro sistema o una modificación sobre el presente, las funciones HOLD, DRIVE y EDIT podrían ser utilizadas, dependiendo de los alcances que se pretendieran.

b) Si la tecla resulta ser de control, se tienen sólo cuatro valores (FCH a FFH) a comparar para decidir la función a ejecutar.

c) Si la tecla resulta ser de movimiento, habrá de determinarse a qué parte del brazo se refiere y el sentido del giro a efectuar. Dado que se manejan 12 diferentes valores (FOH a FBH), sería poco práctico estar haciendo comparaciones de la tecla contra cada uno de esos valores. Además, para cada caso de igualdad habrían de asignarse los dos datos anteriormente mencionados.

Esto provocaría que el programa creciera mucho y fuera confuso su seguimiento. En su lugar se determinó el uso de una tabla de desplazamientos, la cual se explica más adelante.

El software maneja la información en base a dos tablas:

a) **Tabla de posiciones.** - Se maneja en memoria una tabla de posiciones del brazo, como se muestra en la fig. 5.1. Como puede verse, un bloque de datos (o paso) se compone de seis bytes, que indican la posición de cada uno de los servos y de la pinza, y siempre en orden ascendente conforme a su dirección en el controlador.

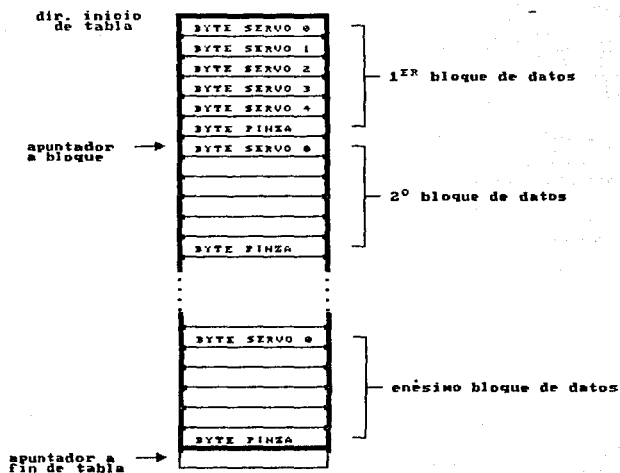


fig. 5.1 - Configuración de la tabla de posiciones

Al inicializar el controlador, el brazo adopta una cierta posición inicial conocida (como se vio en el punto 2.1 al hablar sobre las señales de dirección). En este momento se crea la tabla de posiciones, incluyéndose solamente un bloque de datos, cuyos valores representan esta posición. Cualquier tecla de movimiento que se presione afecta al byte correspondiente dentro de este bloque, en

tanto no sea seleccionada la función de copiado, la cual adiciona a la tabla un bloque idéntico al que se halla en uso.

El valor del apuntador a bloque indica la dirección de inicio del bloque en uso, la cual corresponde a la del byte del servo 0. Cuando apenas se ha inicializado el controlador, éste apunta al inicio de la tabla; posteriormente, cuando se tienen más de un bloque de datos, éste apunta al inicio del bloque en uso.

El valor del apuntador a fin de tabla es en todo momento la dirección siguiente a la del último byte dentro de la tabla.

b) Tabla de desplazamientos.- Una vez que se sabe que una tecla de movimiento del brazo ha sido presionada, es necesario identificar el servo al cual se refiere y el sentido del giro a realizar. Para ésto se utiliza una tabla con la configuración mostrada en la fig. 5.2.

La información contenida en esta tabla es permanente, y sólo es utilizada para consulta.

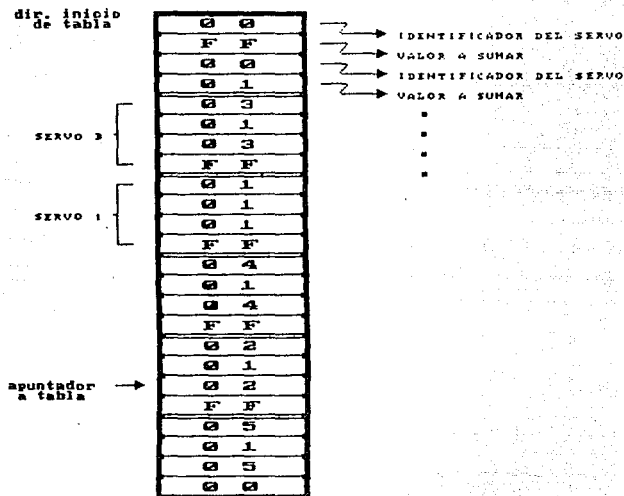


fig. 5.2 - Configuración de la tabla de desplazamientos

La nueva posición del servo en cuestión vendrá dada por la posición actual (indicada en el bloque correspondiente de la tabla de posiciones) más el valor a sumar. Nótese que los valores FF hexadecimal corresponden a -1 decimal.

Para la pinza (identificador 05), el valor que le sigue en la tabla proporciona directamente su nueva posición (00

1), ya que se manejan sólo dos posibles estados (abierto o cerrado).

El orden en que aparecen los identificadores de los servos está en razón directa a aquél que guardan los valores de las teclas (ver disposición en la fig. 2.7).

Cuando el apuntador a la tabla de desplazamientos es cargado con la dirección de inicio de ésta, más el dígito menos significativo del valor de la tecla multiplicado por 2 (dado que para cada servo se manejan 2 bytes), se estará accediendo a la dirección en la que se halla almacenado el identificador de la parte a mover del brazo. Incrementando en uno el valor de este apuntador se accesa la dirección que proporciona el valor a sumar a la posición actual.

Los programas que componen al sistema se explican enseguida, siendo apoyados por diagramas de flujo para su mejor comprensión, y presentando la programación de cada rutina en su parte correspondiente al MC68000:

## PROGRAMA PRINCIPAL

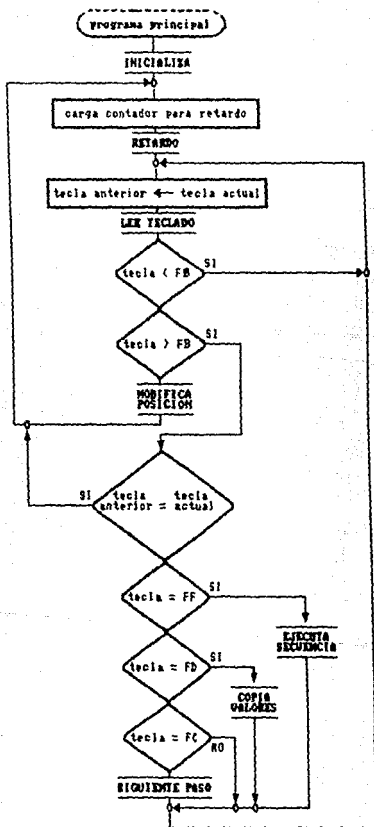
Como es de esperarse, define la estructura principal del sistema:

- a) La primera tarea consiste en inicializar al controlador, para poder efectuar cualquier operación posterior sobre éste; la lleva a cabo por medio de la rutina INICIALIZA.
- b) Monitorea el teclado del controlador e identifica el dato obtenido. Si ninguna tecla ha sido utilizada (valor menor a FOH), regresa a repetir la operación de lectura.
- c) Si la tecla presionada es de control (valor mayor a FBH), invoca a la rutina asociada:
  - EJECUTA SECUENCIA --> Tecla RUN (valor FFH)
  - COPIA VALORES --> Tecla LEARN (valor FDH)
  - SIGUIENTE PASO --> Tecla STEP (valor FCH)

La tecla ESCAPE (valor FEH) no tiene efecto en esta parte del sistema, se le emplea solamente dentro de la rutina EJECUTA SECUENCIA.

Una vez finalizada la rutina correspondiente, regresa a monitorear el teclado. Si la tecla de control que se está identificando como presionada, resulta ser igual a la que provocó el llamado de una rutina apenas terminada, su función es inhibida en tanto no deje de presionarse. Esto evita que la rutina asociada sea ejecutada un sinnúmero de veces, como resultado de un múltiple monitoreo durante el tiempo que permanece activa la tecla.

- d) Si la tecla presionada resulta ser para el movimiento del brazo (valor menor o igual a FBH), entonces realiza un llamado a la rutina MODIFICA POSICION. Se permite la ejecución repetida de esta rutina durante el tiempo que se halle presionada la tecla; se efectúa un retardo (rutina RETARDO) entre cada llamado, proporcionando así un tiempo razonable como para que no continúe modificándose la posición del brazo una vez que se suelta la tecla.



```

        JSR      INICIALIZA      ; rutina de inicialización
ET03:   MOVE.L   #4096,D1        ; dato para retardo
        JSR      RETARDO        ; rutina de retardo
ET01:   MOVE.B   D5,D4          ; valor tecla anterior
        JSR      LEE_TECLADO    ; rutina lectura teclado
        MOVE.B   D0,D5          ; valor tecla actual
        CMP.B   #$F0,D0        ; tecla no presionada?
        BLT     ET01
        CMP.B   #$FB,D0        ; tecla es de control?
        BGT     ET02
        JSR      POSICION       ; actualiza posición
        BRA     ET03
ET02:   CMP.B   D4,D5          ; tecla anterior = actual ?
        BEQ     ET03
        CMP.B   #$FF,D0        ; tecla = RUN ?
        BNE     ET04
        JSR      EJECUTA_SEC    ; rutina de ejecución
        BRA     ET01
ET04:   CMP.B   #$FD,D0        ; tecla = LEARN ?
        BNE     ET05
        JSR      COPIA_VAL      ; rutina de copiado
        BRA     ET01
ET05:   CMP.B   #$FC,D0        ; tecla = STEP ?
        BNE     ET01
        JSR      SIG_PASO       ; rutina siguiente posición
        BRA     ET01

```

#### Rutina INICIALIZA

Establece las condiciones iniciales para el sistema:

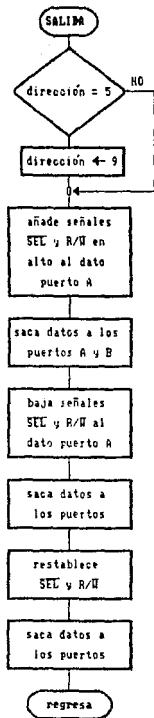
- a) Programa a los puertos A y B para el envío de datos.
- b) Carga dirección 1111 (OFH) para inicializar al controlador, y el dato FFH como posición inicial de los servomotores. Envía el par dirección-dato por medio de la rutina SALIDA.
- c) Carga valores de las posiciones iniciales de los servomotores y de la pinza en la tabla de posiciones; así como de los apuntadores correspondientes (apuntador a bloque y apuntador a fin de tabla).
- d) Indica que ninguna tecla ha sido presionada previamente.

#### Rutina SALIDA

Se emplea para el envío de la dirección y dato al controlador del brazo.

Por facilidad en el manejo de la información, en el software se le está asociando a la pinza un identificador de 5, el cual no corresponde a su dirección real en el controlador (dirección 9). Así, la rutina primeramente chequea si la dirección a que se está haciendo referencia es la 5, en cuyo caso es sustituida por un valor de 9. A continuación se siguen tres etapas (cualquier dirección):

- a) A los bits de dirección añade las señales de SEL y  $R/\bar{W}$  en alto, y envía junto con los bits del dato hacia los puertos A y B con el fin de que las señales se encuentren estables al momento de ser cargadas al controlador.
- b) Modifica los niveles de las señales SEL y  $R/\bar{W}$ , y vuelve a dar salida al par dirección-dato.
- c) Restablece niveles para SEL y  $R/\bar{W}$ , y nuevamente da salida.



```

INICIALIZA: MOVE.L  #10001,A0      ; dir. base PIT
             MOVEP.L #0000(A0),D0  ; valor original de regs.
             AND.L   #0000FFFF,D0
             OR.L    #4000FFFF,D0  ; puertos A y B como salida
             MOVEP.L D0,$0000(A0)  ; saca palabra de control
             MOVE.W  #0,D0         ; regs. control de A y B
             MOVEP.W D0,$000C(A0)  ; dato de inicialización
             MOVE.W  #00FFF,D0     ; rutina de salida
             JSR     SALIDA        ; dir. inicio tabla posición
             MOVE.L  #12000,A2     ; posiciones iniciales
             MOVE.L  #FFFFFFF,(A2) ; Idem
             MOVE.L  #2006,D3      ; apuntador fin de tabla
             MOVE.B  #0,D5         ; valor inicial de tecla
             RTS

```

```

SALIDA:      MOVE.W  D0,D1         ; copia dato p/manejo int.
             CMP.W   #0500,D1     ; dirección de pinza?
             BLT    ET06
             CMP.W   #0501,D1     ; dirección de pinza?
             BGT    ET06
             AND.W   #00FF,D1     ; sustituye direc. 05 ...
             OR.W    #0900,D1     ; ... por 09
ET06:        AND.W   #00FF,D1     ; se añaden señales ...
             OR.W    #C000,D1     ; ... de control
             MOVEP.W D1,$0010(A0) ; salida a puertos A y B
             AND.W   #00FF,D1     ; SEL y R/W bajas
             MOVEP.W D1,$0010(A0) ; se restablecen señales
             OR.W    #C000,D1
             MOVEP.W D1,$0010(A0)
             RTS

```

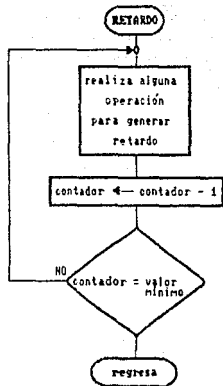
#### Rutina LEE TECLADO

Obtiene el dato que se halla en el latch de entrada correspondiente al teclado en el controlador. Para ello sigue los pasos:

- a) Modifica el registro de control del puerto B (puerto asociado al dato), de modo que permita el ingreso de información.
- b) Carga un valor de B como dirección (valor asociado al latch del teclado), añade señales SEL y R/W en alto y envía al puerto A con fines de estabilización.
- c) Modifica nivel de SEL y da salida nuevamente al puerto A.
- d) Hace uso de un pequeño retardo para dar tiempo a que las señales provenientes del latch del teclado sean estables al momento de su lectura. Esta parte podría llegar a ser eliminada, sin embargo se le utiliza como una forma de seguridad.
- e) Toma el dato que ha ingresado al puerto B; éste representa el valor de la tecla presionada (o no presionada).
- f) Restablece señal SEL y vuelve a enviar al puerto A.
- g) Nuevamente modifica el registro del control del puerto B, volviendo al modo de salida, ya que se está considerando así por omisión.

#### Rutina RETARDO

Proporciona un tiempo de retraso, el cual varía de acuerdo con el valor especificado en el punto en que se efectuó su llamado. Consta únicamente de un ciclo repetitivo controlado por el valor mencionado, durante el cual lleva a cabo una operación cuyo resultado no importa, ya que el objetivo es obtener simplemente retardo.



```

LEE_TECLADO: MOVEP.L #0000(A0),D0      ; regs. control PIT
             AND.L   #$FFFFFF00,D0     ; puerto B como entrada
             MOVEP.L D0,$0000(A0)
             MOVE.W  #$CBAA,D0        ; B -> dir. de teclado
             MOVEP.W D0,$0010(A0)     ; salida a puertos A y B
             AND.W   #$BFFF,D0        ; SEL baja
             MOVEP.W D0,$0010(A0)
             MOVE.L  #1,D1            ; dato para retardo
             JSR    RETARDO           ; rutina de retardo
             MOVEP.L #0010(A0),D0     ; dato de entrada
             OR.W   #$C000,D0        ; restablece SEL
             MOVEP.W D0,$0010(A0)
             MOVEP.L #0000(A0),D1     ; restablece modo de ...
             OR.L   #$000000FF,D1    ; ... salida en ...
             MOVEP.L D1,$0000(A0)    ; ... puerto B
             RTS

```

```

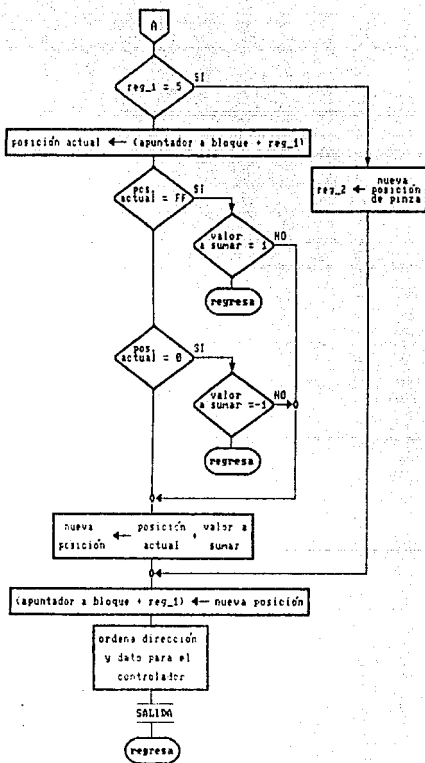
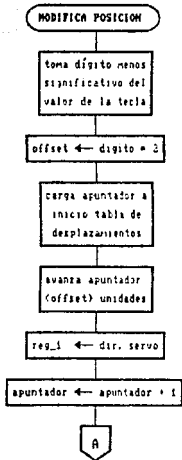
RETARDO:    MOVE.L  #$FFFF,D2        ; valor cualquiera
            DIVS.W  D2,D2            ; cada instruc. DIVS ...
            DIVS.W  D2,D2            ; ... proporciona 150 ciclos
            DBEQ.L  D1,RETARDO
            RTS

```

## Rutina MODIFICA POSICION

Modifica la posición del servo o pinza indicado por la tecla que se ha presionado, y actualiza su valor en la tabla de posiciones. Para lograrlo efectúa lo siguiente:

- a) Toma el dígito menos significativo del valor de la tecla presionada (único requerido para identificarla), el cual multiplicado por 2 y sumado a la dirección inicial de la tabla de desplazamientos, proporciona la dirección dentro de la misma tabla que contiene el identificador del servo o pinza correspondiente. En la siguiente dirección se encuentra el valor que ha de ser sumado a la posición actual para obtener la nueva posición, excepto para la pinza (como ya se explicó al definir la tabla de desplazamientos).
- b) Si el identificador se refiere a la pinza (valor 5), entonces carga la nueva posición, actualiza el valor en el bloque correspondiente dentro de la tabla de posiciones y hace un llamado a la rutina SALIDA.
- c) Si el movimiento es para alguno de los servos, primero obtiene la posición actual, que se encuentra en el bloque en uso dentro de la tabla de posiciones. Checa que la nueva posición no vaya a encontrarse fuera de los valores permitidos (es decir, que no exceda a FFH ni se halle por debajo de 0). Obtiene el valor de la nueva posición, actualiza en la tabla de posiciones y envía al controlador mediante un llamado a la rutina SALIDA.



```

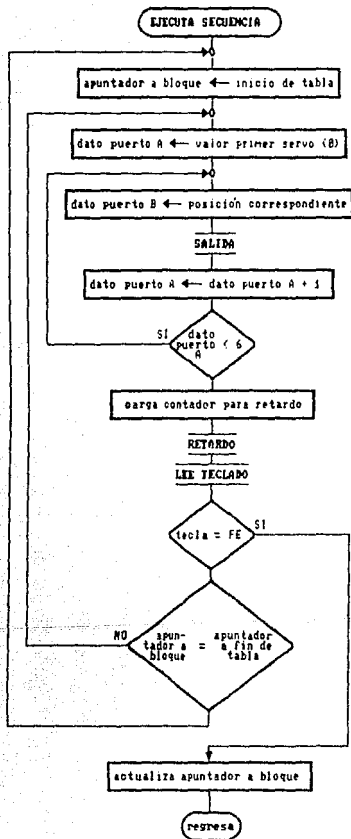
POBICION:  MOVE.L  #0,D1          ; limpia registro
            MOVE.B  D0,D1          ; valor tecla
            AND.B   #0F,D1         ; no interesa digito izq.
            MULU.W  #2,D1          ; son 2 bytes por c/servo
            MOVE.L  #3000,A3       ; dir. tabla desplazamientos
            ADD.W   D1,A3
            MOVE.W  #0,D0          ; limpia
            MOVE.B  (A3)+,D0       ; servo correspondiente
            CMP.B   #05,D0         ; es pinza?
            BNE    ET07
            MOVE.B  (A3),D1        ; nueva posición
            BRA    ET08
ET07:      MOVE.B  0(A2,DO.W),D1   ; posición actual
            CMP.B   #FF,D1        ; se halla al máximo?
            BNE    ET09
            CMP.B   #1,(A3)        ; valor a sumar es 1 ?
            BEQ    ET10
            BRA    ET11
ET09:      CMP.B   #0,D1          ; se halla al mínimo?
            BNE    ET11
            CMP.B   #1,(A3)        ; valor a sumar es -1 ?
            BNE    ET10
ET11:      ADD.B   (A3),D1         ; pos. actual + desplazam.
ET08:      MOVE.B  D1,0(A2,DO.W)   ; almacena nueva posición
            LSL.W  #8,D0           ; recorre bits de dirección
            OR.B   D1,D0           ; agrega posición
            JSR    SALIDA         ; rutina de salida
ET10:      RTS

```

#### Rutina EJECUTA SECUENCIA

Su finalidad es ir posicionando al brazo de acuerdo con la información contenida en la tabla de posiciones, y conforme a un ciclo repetitivo.

- a) Posiciona al apuntador a bloque al inicio de la tabla.
- b) Asigna un valor de 0 como primera dirección (primer servo).
- c) Carga el dato del servo (posición) y envía el par dirección-dato al controlador a través de la rutina SALIDA.
- d) Incrementa en uno el valor de la dirección (siguiente servo) y verifica que no exceda de 5 (mayor identificador). Así mismo, avanza una posición el apuntador.
- e) Cuando ha completado el envío de los 6 datos del bloque, da tiempo a que los motores finalicen su giro mediante un llamado a la rutina RETARDO.
- f) Llama a la rutina LEE TECLADO y verifica si la tecla ESCAPE (valor FEH) ha sido presionada, en cuyo caso se abandona la ejecución, dejando previamente al apuntador a bloque al inicio del último bloque al que se dio salida.
- g) Si la tecla ESCAPE no fue presionada, entonces chequea si se ha alcanzado el fin de tabla. En caso afirmativo el siguiente bloque a sacar debe de ser el primero dentro de la tabla, para lo cual vuelve al inciso a). De lo contrario, utiliza el siguiente bloque en secuencia, yendo al inciso b).



```

EJECUTA_SEC: MOVE.L  #2000,A2          ; dir. inicio tabla pos.
              ET14: MOVE.W  #0,D0          ; valor primer servo
              ET12: MOVE.B  (A2)+,D0      ; posición correspondiente
              JSR    SALIDA          ; rutina de salida
              ADD.W  #50100,D0         ; sig. servo
              CMP.W  #50600,D0         ; existe ese servo?
              BLT    ET12
              MOVE.L  #65535,D1        ; dato de retardo
              JSR    RETARDO         ; rutina de retardo
              JSR    LEE_TECLADO      ; rutina de lectura
              CMP.B  #5FE,D0          ; tecla = ESCAPE ?
              BEQ    ET13
              CMP.L  A2,D3            ; fin de tabla?
              BNE    ET14
              BRA    EJECUTA_SEC
ET13: SUB.L  #6,A2                    ; A2 debe apuntar al ...
              RTS                     ; ... inicio del bloque

```

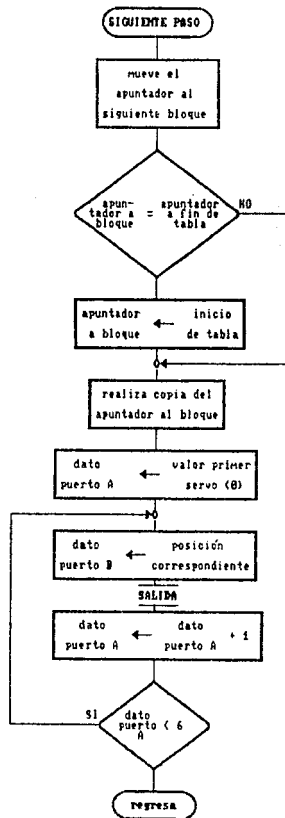
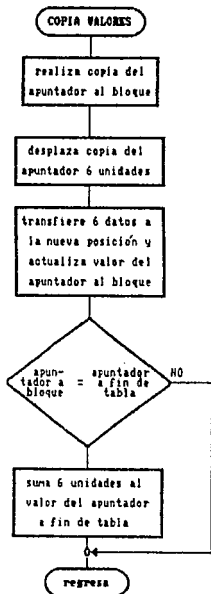
### Rutina COPIA VALORES

Efectúa una copia fiel del bloque dentro de la tabla de posiciones al que se encuentra señalando el apuntador a bloque. Los nuevos valores son almacenados como un bloque en posición inmediata a su original, y el apuntador es actualizado conforme a este nuevo. Si al haber elaborado la copia, resulta que se incrementó el tamaño de la tabla, entonces el apuntador a fin de tabla es desplazado 6 unidades (tamaño del bloque).

### Rutina SIGUIENTE PASO

Permite posicionar al brazo conforme a los valores indicados por el siguiente bloque dentro de la tabla de posiciones. Presionando repetidamente la tecla STEP en el controlador, produce que se obtengan los mismos resultados que con la rutina EJECUTA SECUENCIA, excepto en el retardo.

- a) Posiciona el apuntador al inicio del siguiente bloque. Si resulta ser el fin de tabla, entonces el bloque a emplear viene a ser el primero de la tabla.
- b) Realiza una copia del apuntador a bloque, con el fin de estar desplazando éste, y no mover el original.
- c) Asigna un valor de 0 como primer identificador de servo.
- d) Carga el dato correspondiente al servo y envía al controlador mediante la rutina BALIDA.
- e) Avanza una posición la copia del apuntador a bloque, incrementa en uno el valor del identificador (siguiente servo) y verifica si ha finalizado con el bloque. En caso de no haberlo completado, continúa con la misma operación para el siguiente servo, yendo al inciso d).



```

COPIA_VAL: MOVE.W A2,A3          ; mismo bloque
           MOVE.L (A2)+,6(A3)    ; copia 4 bytes
           MOVE.W (A2)+,10(A3)   ; copia últimos 2 bytes
           CMP.L A2,D3           ; fin de tabla?
           BNE ET15
           ADD.L #6,D3           ; aumentó tamaño tabla
ET15:     RTS

```

```

SIG_PASO: ADD.L #6,A2           ; siguiente bloque
           CMP.L A2,D3           ; fin de tabla?
           BNE ET16
           MOVE.L #2000,A2       ; inicio de tabla
ET16:     MOVE.L A2,A3           ; mismo bloque
           MOVE.W #0,D0          ; valor primer servo
ET17:     MOVE.B (A3)+,D0        ; posición correspondiente
           JSR SALIDA            ; rutina de salida
           ADD.W #0100,D0        ; sig. servo
           CMP.W #0600,D0        ; existe ese servo?
           BLT ET17
           RTS

```

## 5.2 Software de control MC68000

A continuación se presenta un listado del programa principal y rutinas, obtenido directamente del kit educativo MEX68KECB. Solamente se ha editado para agregar comentarios y reducir el espacio entre columnas.

La dirección de inicio del programa principal es 1000.

```

000900 207C00010001  MOVE.L #65537,A0      ; dir. base PIT
000906 01480000      MOVEP.L #0000(A0),D0  ; valor original de registros
00090A 028000FF0000  AND.L #16711680,D0
000910 00804000FFFF  OR.L #1073807359,D0  ; puertos A y B como salida
000916 010E0000      MOVEP.L D0,#0000(A0) ; saca palabra de control
00091A 303C0000      MOVE.W #0,D0         ; regs. control de A y B
00091E 018B0000      MOVEP.W D0,#0000(A0)
000922 303C00FF      MOVE.W #4095,D0      ; dato de inicialización
000926 4EBB0950      JSR.S #00000950      ; rutina de salida
00092A 247C00002000  MOVE.L #8192,A2      ; dir. inicio tabla posición
000930 248CFFFF0000  MOVE.L #-1,(A2)     ; posiciones iniciales
000936 357CFF010004  MOVE.W #-255,4(A2)  ; idem
00093C 263C000002006  MOVE.L #8198,D3     ; apuntdador fin de tabla
000942 1A3C0000      MOVE.B #0,D5        ; valor inicial de tecla
000946 4E75         RTS
000948 4E71         NOP
00094A 4E71         NOP

000950 5200         MOVE.W D0,D1        ; copia dato p/manejo interno
000952 0C410500    CMP.L #1280,D1      ; dirección de pinza?
000956 6D0E         BLT #966
000958 0C410501    CMP.W #-1281,D1    ; dirección de pinza?
00095C 6E08         DBT #966
00095E 024100FF    AND.W #255,D1      ; ... por 09
000962 00410900    OR.W #2304,D1      ; se añaden señales ...
000966 02400FFF    AND.W #4095,D1    ; ... de control
00096A 0040C000    OR.W #-16384,D1   ; salida a puertos A y B
000972 018B0010    MOVEP.W D1,#0010(A0) ; SEL y R/W bajas
000976 02400FFF    AND.W #4095,D1
00097A 018B0010    MOVEP.W D1,#0010(A0)
00097E 0040C000    OR.W #-16384,D1   ; se restablecen señales
000982 4E75         RTS
000984 4E71         NOP
000986 4E71         NOP

```

```

001000 4EBB0900 JSR.S $00000900 ; rutina de inicializacion
001004 223C00001000 MOVE.L #4095,D1 ; dato para retardo
001008 4EBB1340 JSR.S $00001340 ; rutina de retardo
00100E 1B05 MOVE.B D5,D4 ; valor tecla anterior
001010 4EBB1100 JSR.S $00001100 ; rutina lectura teclado
001014 1400 MOVE.B D0,D5 ; valor tecla actual
001018 0C0000FF0 CMP.B #240,D0 ; tecla no presionada?
00101C 0C0000FB CMP.B #251,D0 ; tecla es de control?
001020 6E0B RGT.S $00102A
001022 4E71 NOP
001024 4EBB1200 JSR.S $00001200 ; actualiza posición
001028 60DA BRA.S $001004
00102A BA04 CMP.B D4,D5 ; tecla anterior = actual ?
00102C 67D6 BEQ.S $001004
00102E 0C0000FF CMP.B #255,D0 ; tecla = RUN ?
001032 6E0B RNE.S $00103C
001034 4E71 NOP
001036 4EBB1300 JSR.B $00001300 ; rutina de ejecución
00103A 60D2 BRA.S $00100E
00103C 0C0000FD CMP.B #253,D0 ; tecla = LEARN ?
001040 660B RNE.S $00104A
001042 4E71 NOP
001044 4EBB1350 JSR.S $00001350 ; rutina de copiado
001048 60C4 BRA.S $00100E
00104A 0C0000FC CMP.B #252,D0 ; tecla = STEP ?
00104E 66BE RNE.S $00100E
001050 4EBB1400 JSR.S $00001400 ; rutina siguiente posición
001054 60BB BRA.S $00100E
001056 4E71 NOP
001058 4E71 NOP

001100 014B0000 MDVEP.L $0000(A0),D0 ; regs. control PIT
001104 0260FFFFF000 AND.L #-256,D0 ; puerto B como entrada
001108 31C09000 MDVEP.L D0,$0000(A0) ; B -> dir. de teclado
00110E 305C00A0 MOVEP.W #14166,D0 ; salida a puertos A y B
001112 01BB0010 MDVEP.W D0,$0010(A0) ; SEL baja
001114 0240BFFF AND.W #-28673,D0
00111A 01BB0010 MDVEP.W D0,$0010(A0)
00111E 223E00000001 MOVE.L #1,D1 ; dato para retardo
001124 4EBB1340 JSR.S $00001340 ; rutina de retardo
001128 014B0010 MDVEP.L $0010(A0),D0 ; dato de entrada
00112C 0040C000 DR.W #-16384,D0 ; restablece SEL
001130 01BB0010 MDVEP.W D0,$0010(A0)
001134 4E71 NOP
001136 034B0000 MDVEP.L $0000(A0),D1 ; restablece modo de ...
00113A 00B1000000FF DR.L #255,D1 ; ... salida en ...
001140 02C80000 MDVEP.L D1,$0000(A0) ; ... puerto B
001144 4E71 NOP
001146 4E75 RTS
001148 4E71 NOP
00114A 4E71 NOP

```

```

001200 223C00000000 MOVE.L #0,D1 ; limpia registro
001206 1200 MOVE.B D0,D1 ; valor tecla
001208 0201000F AND.B #15,D1 ; no interesa digito izq.
00120C C2FC0002 MULU.W #2,D1 ; son 2 bytes por c/servo
001210 267C000002000 MOVE.L #1228B,A3 ; dir. tabla desplazamientos
001216 D6C1 ADD.W D1,A3
001218 303C0000 MOVE.W #0,D0 ; limpia
00121C 101B MOVE.B (A3)+,D0 ; servo correspondiente
00121E 0C000005 CMP.B #5,D0 ; es pinza?
001222 6604 BNE.S #001228
001224 1213 MOVE.B (A3),D1 ; nueva posición
001226 6026 BRA.S #00124E
001228 12320000 MOVE.B 0(A2,D0.W),D1 ; posición actual
00122C 0C0100FF CMP.B #255,D1 ; se halla al maximo?
001230 660E BNE.S #001240
001232 4E71 NOP
001234 0C130001 CMP.B #1,(A3) ; valor a sumar es 1?
001238 6720 BEQ.S #00125A
00123A 6010 BRA.S #00124C
00123C 4E71 NOP
00123E 4E71 NOP
001240 0C010000 CMP.B #0,D1 ; se halla al minimo?
001244 6606 BNE.S #00124C
001246 0C130001 CMP.B #1,(A3) ; valor a sumar es -1?
00124A 660E BNE.S #00125A
00124C D213 ADD.B (A3),D1 ; pos. actual + desplazam.
00124E 15810000 MOVE.B D1,0(A2,D0.W) ; almacena nueva posición
001252 E148 LSL.W #8,D0 ; recorre bits de dirección
001254 8001 OR.R D1,D0 ; agrega posición
001256 4E680950 JSR.S #00000950 ; rutina de salida
00125A 4E75 RTS
00125C 4E71 NOP
00125E 4E71 NOP

001300 247C000002000 MOVE.L #8192,A2 ; dir. inicio tabla posición
001306 303C0000 MOVE.W #0,D0 ; valor primer servo
00130A 1014 MOVE.B (A2)+,D0 ; posición correspondiente
00130C 4EBB0950 JSR.S #00000950 ; rutina de salida
001310 06400100 ADD.W #256,D0 ; sig. servo
001314 0C400600 CMP.W #1536,D0 ; existe ese servo?
001318 6DF0 BLT.S #00130A
00131A 223C0000FFFF MOVE.L #65535,D1 ; dato de retardo
001320 4EBB1340 JSR.S #00001340 ; rutina de retardo
001324 4EBB1100 JSR.S #00001100 ; rutina de lectura
001328 0C00000FE CMP.B #254,D0 ; tecla = ESCAPE ?
00132C 6706 BEQ.S #001334
00132E 868A CMP.L A2,D3 ; fin de tabla?
001330 66D4 BNE.S #001306
001332 60CC BRA.S #001300
001334 95FC00000006 SUB.L #6,A2 ; A2 debe apuntar al ...
00133A 4E75 RTS ; ... inicio del bloque
00133C 4E71 NOP
00133E 4E71 NOP

```

```

001340 243C0000FFFF MOVE.L #65535,D2 ; valor cualquiera
001346 B5C2 DIVS.W D2,D2 ; cada instrucc. DIVS ...
00134B B5C2 DIVS.W D2,D2 ; ... proporciona 150 ciclos
00134A 57C9FFFF4 DBEO.L D1,#01340
00134E 4E75 RTS

001350 564A MOVE.W A2,A3 ; mismo bloque
001352 275A0006 MOVE.L (A2)+,6(A3) ; copia 4 bytes
001356 375A000A MOVE.W (A2)+,10(A3) ; copia últimos 2 bytes
00135A B6BA CMP.L A2,D3 ; fin de tabla?
00135C 6606 BNE.S #001364
00135E 06B200000006 ADD.L #6,D3 ; aumentó tamaño tabla
001364 4E75 RTS
001366 4E71 NOP
00136B 4E71 NOP

001400 D5FC00000006 ADD.L #6,A2 ; siguiente bloque
001406 66BA CMP.L A2,D3 ; fin de tabla?
00140B 6606 BNE.S #001410
00140A 247C00000200 MOVE.L #B192,A2 ; inicio de tabla
001410 264A MOVE.L A2,A3 ; mismo bloque
001412 303C0000 MOVE.W #0,D0 ; valor primer servo
001416 101B MOVE.B (A3)+,D0 ; posición correspondiente
00141B 4EBB0950 JSR.S #00000950 ; rutina de salida
00141C 06400100 ADD.W #256,D0 ; sig. servo
001420 0C400600 CMP.W #1536,D0 ; existe ese servo?
001424 6DF0 BLT.B #001416
001426 4E75 RTS
00142B 4E71 NOP
00142A 4E71 NOP

003000 00FF 00FF ; primer byte -> servo
003002 0001 0001 ; segundo byte -> valor sum.
003004 0301 0301
003006 03FF 03FF
00300B 0101 0101
00300A 01FF 01FF
00300C 0401 0401
00300E 04FF 04FF
003010 0201 0201
003012 02FF 02FF
003014 0501 0501
003016 0500 0500

```

### 5.3 Software de control Z80

Al igual que en el punto anterior, se muestra un listado del programa principal y rutinas, obtenido del macroensamblador Z80 (versión 3.08) de Cromemco. Este ha sido editado para reducir el espacio entre columnas, agregar comentarios, y eliminar encabezados de página y tablas de referencia.

```

(00B2)   PCA   EQU 82H           ; dir. control puerto A
(00B0)   PDA   EQU 80H           ; dir. datos puerto A
(00B3)   PCB   EQU 83H           ; dir. control puerto B
(004F)   MI    EQU 4FH           ; dato prog. puerto entrada
(000F)   MO    EQU 0FH           ; dato prog. puerto salida
(00B1)   PDB   EQU 81H           ; dir. datos puerto B

(1000)   ORG 1000H

; PROGRAMA PRINCIPAL
1000   CD4D10   INICIO:  CALL INICIA      ; rutina de inicialización
1003   010108   ETB:    LD BC,0B01H      ; dato para retardo
1006   CD9F11   CALL RETARDD           ; rutina de retardo
1009   DD7E01   ETA:    LD A,(IX+1)      ; valor tecla actual
100C   DD7702   LD (IX+2),A            ; pasa a ser tecla anterior
100F   CD9010   CALL LECTURA          ; rutina lectura de teclado
1012   FEFO    CP 0F0H                ; tecla no presionada?
1014   FA0910   JP M,ETA               ;
1017   FEFC    CP 0F0H                ; tecla es de control?
1019   F22210   JP P,ETE               ;
101C   CDBA10   CALL MUEVE             ; actualiza posición
101F   C30310   JP ETR                 ;
1022   DD4602   ETE:    LD B,(IX+2)      ; valor tecla anterior
1025   BB       CP R                   ; tecla anterior = actual ?
1026   CA0310   JP Z,EID               ;
1029   FEFF    CP 0FFH                ; tecla = RUN ?
102B   C23410   JP NZ,ETC              ;
102E   CD1911   CALL EJECUTA           ; rutina de ejecución
1031   C30910   JP ETA                 ;
1034   FEFD    CP 0FDH                ; tecla = LEARN ?
1036   C23F10   JP NZ,ETD             ;
1039   CD5211   CALL COPIA             ; rutina de copiado
103C   C30910   JP ETA                 ;
103F   FEFC    CP 0FCH                ; tecla = STEP ?
1041   C20910   JP NZ,ETA             ;
1044   CD7011   CALL SIG_PASO          ; rutina sig. posición
1047   C30910   JP ETA

```

```

104A 00      NOP
104B 00      NOP
104C 00      NOP

```

; RUTINA DE INICIALIZACION

```

104D 3E0F      INICIA: LD A,M0      ; dato programación PIO
104F D3B2      OUT (PCA),A    ; puertos A y B quedan ...
1051 D3B3      OUT (PCB),A    ; ... como salida
1053 06FF      LD B,OFFH      ; dato para inicialización
1055 DD210020  LD IX,2000H    ; dir. inicio memoria aux.
1059 CD7410    CALL SALIDA     ; rutina de salida
105C 210021    LD HL,2100H    ; dir. inicio tabla posición
105F 0605      LD B,05H       ; dato que controla ciclo
1061 36FF      ETO:  LD (HL),OFFH ; posición inicial servos
1063 23        INC HL         ; apunta a sig. localidad
1064 10FB      DJNZ,ETO       ; B <- B-1; brinca si B > 0
1066 3601      LD (HL),01H    ; posición inicial pinza
1068 210021    LD HL,2100H    ; dir. inicio tabla posición
106B 110621    LD DE,2106H    ; apunta a fin de tabla
106E DD560100  LD (IX+1),00H  ; valor inicial de tecla
1072 00      NOP
1073 C9      RET

```

; RUTINA DE SALIDA

```

1074 FE05      SALIDA: CP 05H      ; dato para pinza?
1076 C27B10   JP NZ,ETF      ; se añaden senales ...
1079 3E09      LD A,09H      ; ... de control
107B E60F      AND 0FH       ; salida al puerto A
107D F6C0      OR 0C0H      ; se salva temporalmente
107F D3B0      OUT (PDA),A  ; valor del dato
1081 4F        LD C,A        ; salida al puerto B
1082 78        LD A,B        ; se recupera dirección
1083 D3B1      OUT (PDB),A  ; SEL y R/W bajas
1085 79        LD A,C        ; se restablecen señales
1086 E60F      AND 0FH       ;
1088 D3B0      OUT (PDA),A  ;
108A F6C0      OR 0C0H      ;
108C D3B0      OUT (PDA),A  ;
108E 00      NOP
108F C9      RET

```

; RUTINA DE LECTURA

```

1090 3E4F      LECTURA: LD A,M1     ; se programa al puerto ...
1092 D3B3      OUT (PCB),A    ; ... B como entrada
1094 3ECB      LD A,0CBH     ; B -> dir. teclado
1096 D3B0      OUT (PDA),A    ;
1098 E6BF      AND 0BFH     ; SEL baja
109A D3B0      OUT (PDA),A    ;
109C DD7700   LD (IX+0),A   ; salva temporalmente
109F 010101   LD BC,0101H  ; dato para retardo
10A2 CD9F11   CALL RETARDO ; rutina de retardo

```

10A5	DBB1	IN A, (PDR)	: dato de entrada
10A7	DD7701	LD (IX+1), A	: salva dato
10AA	DD7E00	LD A, (IX+0)	: recupera control
10AD	F6C0	OR 000H	: restablece SEL
10AF	D3B0	OUT (FDA), A	
10B1	3E0F	LD A, M0	: restablece modo de ...
10B5	D3E3	OUT (FCB), A	: ... salida en puerto B
10B5	DD7E01	LD A, (IX+1)	: recupera dato de entrada
10BB	00	NOP	
10B9	C9	RET	

: RUTINA DE MOVIMIENTO

10BA	E5	NUEVE:	PUSH HL	: salva temporalmente
10BB	E60F		AND 0FH	: no interena dígito izq.
10BD	CB27		SLA A	: multiplica por dos
10BF	FD210012		LD IX, 1200H	: dir. tabla desplazamientos
10C3	FE00		CP 0	: si tecla fue F0 no ...
10C5	CACD10		JP Z, ET21	: ... avanza sobre la tabla
10CB	47		LD B, A	: No. bytes a avanzar
10C9	FD25	ET3:	INC IX	: incrementa uno en uno
10CB	10FC		DJNZ, ET3	
10CD	FD7E00	ET21:	LD A, (IX)	: servo correspondiente
10DD	FD25		INC IX	
10D2	DD7700		LD (IX+0), A	: salva
10D5	FE00		CP 0	: si servo es 0 no avanza ...
10D7	C2EB10		JP Z, ET5	: ... sobre tabla de posición
10DA	DD4600		LD B, (IX+0)	: No. bytes a avanzar
10DD	25	ET4:	INC HL	: apunta a posición sig. servo
10DE	10FD		DJNZ, ET4	
10E0	FE05		CP 05H	: es pinza?
10E2	C2EB10		JP NZ, ET5	
10E5	FD4600		LD B, (IX)	: nueva posición de la pinza
10E8	C30F11		JP ET6	
10EB	4E	E15:	LD C, (HL)	: posición actual del servo
10EC	79		LD A, C	
10ED	FEFF		CP 0FFH	: se halla al máximo?
10EF	C2FD10		JP NZ, ET7	
10F2	FD7E00		LD A, (IX)	: valor a sumar ...
10F5	FE01		CP 01H	: ... es 1 ?
10F7	CA1611		JP Z, ET8	
10FA	C30A11		JP ET9	
10FD	FE00	ET7:	CP 00H	: se halla al mínimo?
10FF	C30A11		JP NZ, ET9	
1102	FD7E00		LD A, (IX)	: valor a sumar ...
1105	FE01		CP 01H	: ... es -1 ?
1107	C21611		JP NZ, ET8	
110A	FD7E00	ET9:	LD A, (IX)	: valor a sumar
110D	81		ADD A, C	: pos. actual + desplazam.
110E	47		LD B, A	: nueva posición del servo
1110	70	ET6:	LD (HL), B	: actualiza en tabla pos.
1110	DD7E00		LD A, (IX+0)	: recupera dir.
1115	CD7410		CALL SALIDA	: rutina de salida
1116	E1	ET8:	POP HL	: recupera su valor inicial

1117 00 NOP  
 1118 C9 RET

; RUTINA DE EJECUCION

1119 210021 EJECUTA: LD HL,2100H ; inicio tabla posiciones  
 111C DD360000 ET12: LD (IX+0),00H ; valor primer servo  
 1120 46 ET10: LD B,(HL) ; posición correspondiente  
 1121 23 INC HL  
 1122 DD7E00 LD A,(IX+0) ; valor servo en turno  
 1125 CD7410 CALL SALIDA ; rutina de salida  
 1128 DD7E00 LD A,(IX+0) ; recupera valor servo  
 112B C601 ADD A,01H ; sig. servo  
 112D DD7700 LD (IX+0),A ; salva  
 1130 FE06 CP 06H ; existe ese servo?  
 1132 FA2011 JP M,ET10  
 1135 0110E0 LD BC,0E010H ; dato para retardo  
 1138 CD9F11 CALL RETARDO ; rutina de retardo  
 113B CD9010 CALL LECTURA ; rutina lectura teclado  
 113E FEFE CP 0FEH ; tecla = ESCAPE ?  
 1140 CA4B11 JP Z,ET11  
 1143 7D LD A,L ; fin de ...  
 1144 8B CP E ; ... tabla ?  
 1145 C21C11 JP NZ,ET12  
 1148 C31911 JP RUTINA ; repite desde un inicio  
 114B 0606 ET11: LD B,06H ; controla ciclo  
 114D 2B ET13: DEC HL ; HL debe apuntar al ...  
 114E 10FD DJNZ,ET13 ; ... inicio del bloque  
 1150 00 NOP  
 1151 C9 RET

; RUTINA DE COPIADO

1152 D5 COPIA: PUSH DE ; salva  
 1153 E5 PUSH HL ; HL y DE apuntan al ...  
 1154 D1 POP DE ; ... mismo bloque  
 1155 0606 LD B,06H ; controla ciclo para que ...  
 1157 15 ET20: INC DE ; ... DE apunte al sig. bloque  
 1158 10FD DJNZ,ET20  
 115A 0606 LD B,06H ; ¿ datos a copiar  
 115C 7E ET14: LD A,(HL) ; dato a copiar  
 115D 12 LD (DE),A ; dato copiado  
 115E 23 INC HL ; apunta a nuevo origen  
 115F 13 INC DE ; apunta a nuevo destino  
 1160 10FA DJNZ,ET14  
 1162 D1 POP DE ; apunta nuevamente fin tabla  
 1163 7D LD A,L ; ha aumentado número de ...  
 1164 8B CP E ; ... bloques en la tabla?  
 1165 C26D11 JP NZ,ET15  
 1168 0606 LD B,06H ; se incrementa DE en 6 ...  
 116A 15 ET16: INC DE ; ... para que apunte ...  
 116B 10FD DJNZ,ET16 ; ... al nuevo fin de tabla  
 116D 00 NOP  
 116E 00 NOP  
 116F C9 RET

```

: Rutina de Ejecucion por Pasos
1170 0606 SIG_PASO: LD B,06H ; HL apuntara al inicio ...
1172 23 ET19: INC HL ; ... del sig. bloque
1173 10FD DJNZ,ET19
1175 7D LD A,L ; nos encontramos al ...
1176 86 CP E ; ... fin de la tabla?
1177 C27D11 JF NZ,ET17
117A 210021 LD HL,2100H ; nuevo bloque es el inicial
117D E5 ET17: PUSH HL ; LY y HL apuntan al ...
117E FDE1 POP IV ; ... mismo bloque
1180 DD260000 LD (IX+0),00H ; valor primer servo
1184 FD23 ET18: LD A,(IY) ; posición correspondiente
1187 23 INC IY
1189 47 LD B,A
118A DD7E00 LD A,(IX+0) ; valor servo en turno
118D CD7410 CALL SALIDA ; rutina de salida
1190 DD7E00 LD A,(IX+0) ; recupera valor servo
1192 C801 ADD A,01H ; sig. servo
1195 DD7700 LD (IX+0),A ; salva
1198 FE06 CP 06H ; ya termino el bloque?
119A FAB411 JF M,ET18
119D 00 NOP
119E C9 RET

```

```

: Rutina de Retardo
119F E5 RETARDO: PUSH HL ; salva temporalmente
11A0 CD4F06 ET1: CALL D20MS ; retardo de 20 ms
11A2 00 DEC C
11A4 C2A011 JF NZ,ET1
11A7 CD4F06 ET2: CALL D20MS
11AA 10FB DJNZ,ET2
11AC E1 POP HL ; recupera su valor
11AD C9 RET

```

(1200)

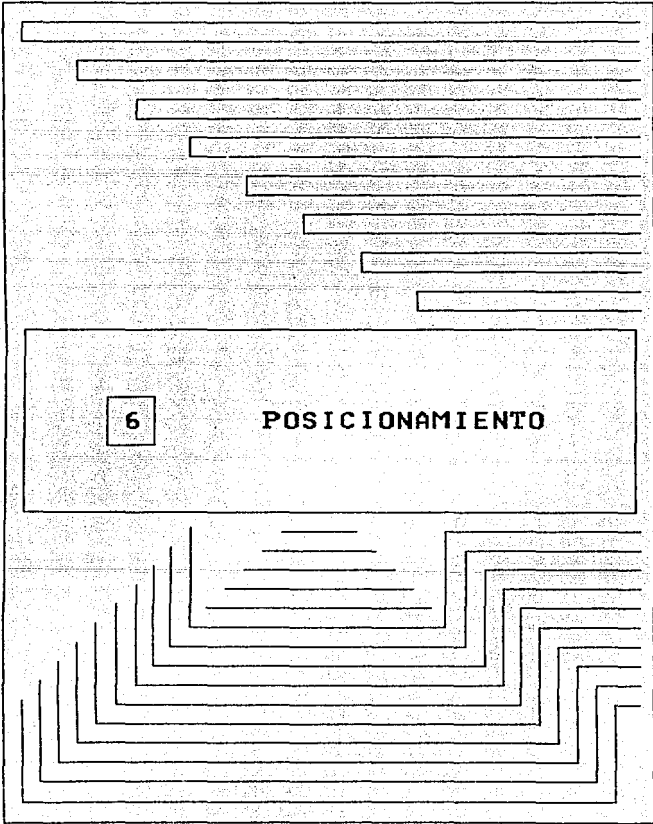
ORG 1200H

: TABLA DE VALORES

1200	00	DB	00H	; dir. del servo
1201	FF	DB	0FFH	; valor a sumar
1202	00	DB	00H	
1203	01	DB	01H	
1204	03	DB	03H	
1205	01	DB	01H	
1206	03	DB	03H	
1207	FF	DB	0FFH	
1208	01	DB	01H	
1209	01	DB	01H	
120A	01	DB	01H	
1208	FF	DB	0FFH	
120C	04	DB	04H	
120D	01	DB	01H	
120E	04	DB	04H	
120F	FF	DB	0FFH	
1210	02	DB	02H	
1211	01	DB	01H	
1212	02	DB	02H	
1213	FF	DB	0FFH	
1214	05	DB	05H	
1215	01	DB	01H	
1216	05	DB	05H	
1217	00	DB	00H	

#### 5.4 Observaciones

Las rutinas de ejecución y de ejecución por pasos, tal y como se encuentran, proporcionan al controlador el dato correspondiente a la posición final que debe de alcanzar un servomotor en un momento dado. Esto ocasiona que el giro se produzca con la máxima velocidad. Sin embargo, si se deseara que dicho giro fuera más lento, la salida habría de darse con incrementos respecto al paso anterior hasta alcanzar la posición final deseada. Entre menores sean estos incrementos menor será la velocidad de giro del servo en cuestión, es decir la menor velocidad se obtiene al proporcionar incrementos de uno.



En la industria, una gran cantidad de brazos mecánicos son dirigidos indicando las coordenadas que deben de acceder en cada paso. Con el fin de mostrar esta forma alterna de manejo del brazo empleado en este proyecto, se presenta a continuación el desarrollo del método para la obtención de los giros de los servomotores, de modo tal que se logre alcanzar el punto definido en el espacio.

El primer paso consiste en definir un sistema fijo de coordenadas. En la fig. 6.1 se muestra un sistema cartesiano obtenido a partir de cierta posición del brazo: El eje de giro del servo 1 se encuentra paralelo a los lados mayores de la base de asentamiento (base rectangular), y con la conexión proveniente del controlador al extremo opuesto en el que se halla dicho servo. Así, el eje horizontal Y coincide con el eje de giro del servo 1, y apuntando hacia ese lado. El eje horizontal X apunta hacia la derecha del eje Y, siendo visto éste de frente. El eje vertical Z es el mismo que el del servo 0, y apuntando hacia arriba.

Esta posición de los ejes cartesianos constituye el sistema fijo de referencia, y sobre él se efectuarán todos los cálculos.

Supóngase un punto  $P(x,y,z)$  sobre el sistema fijo de referencia, el cual puede y debe ser accedido por la pinza del brazo. El problema puede ser dividido en 2 etapas:

- a) Cálculo de los movimientos sobre el plano horizontal X-Y;
- b) Cálculo de los movimientos sobre un plano vertical.

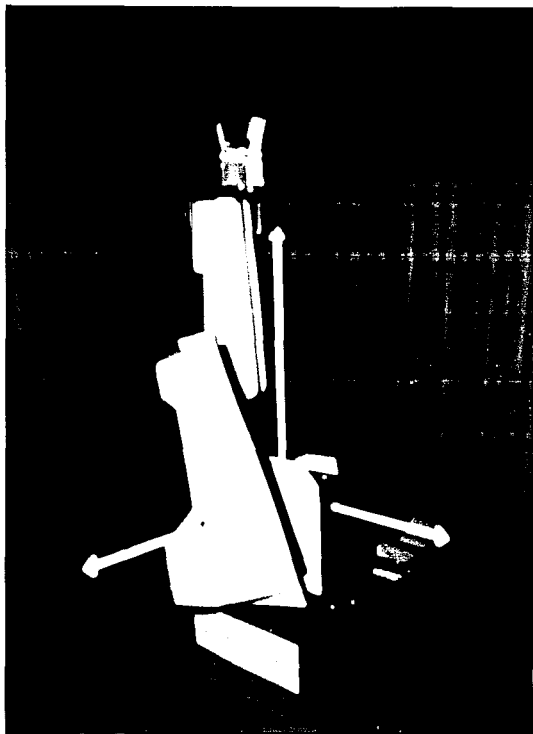


fig. 6.1 - Definición del sistema cartesiano de referencia.  
El eje X apunta hacia la derecha de la figura, y  
el eje Y apunta a la izquierda.

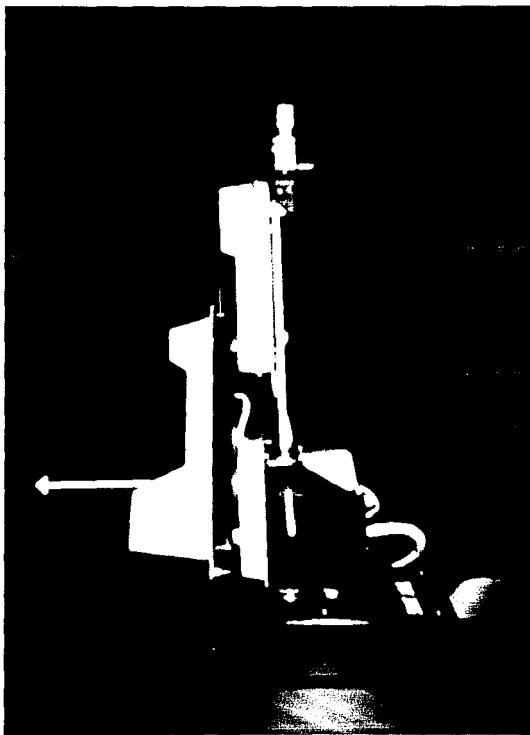


fig. 6.2 - Vista del brazo con el plano X-Z de canto. Notese que la pinza no se encuentra contenida en dicho plano

## 6.1 Cálculo sobre el plano X-Y

### a) Contexto

Encontrándose el brazo en la posición anteriormente descrita y apuntando en la misma dirección que el eje Z (brazo en forma vertical), y observando al plano X-Z de canto, puede verse que el eje de giro del servo 3 no pertenece a dicho plano (ver fig. 6.2). Expresado en otra forma, la pinza se encuentra a una pequeña distancia de este plano, en la región de los valores negativos de Y; denominese  $l_0$  a esta diferencia.

Al hacer girar el brazo sobre el servo 0, la pinza estará definiendo una circunferencia de radio  $l_0$  sobre el plano X-Y (ver fig. 6.3a), cuya Área no puede accezar. La región externa corresponde a los puntos que pueden llegar a alcanzarse.

Ahora bien, al girar los servos 1, 2 y 4 producen movimiento sobre un plano, el cual siempre es tangente a la circunferencia anterior, y por lo tanto el punto que desea alcanzarse ha de pertenecer a dicho plano. Los cálculos a efectuar en esta etapa conducirán a proporcionar un giro tal a la base que el punto P forme parte del plano tangente, y se harán sobre el plano X-Y.

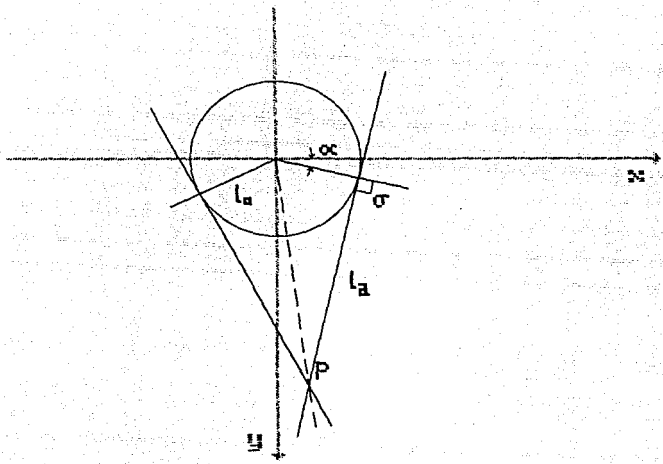


fig. 6.3a - Trazos referentes al movimiento del brazo, proyectado sobre el plano horizontal X-Y

b) Desarrollo

Nota: Dado que los planos tangentes son verticales, su proyección al plano horizontal X-Y se reduce a líneas rectas.

Del punto  $P_{xy}(x,y)$  han de obtenerse rectas tangentes a la circunferencia de radio  $l_0$ . La distancia del punto  $P_{xy}$  al punto de tangencia se denota por  $l_1$ ; además en el punto de tangencia se tiene una recta perpendicular a la tangente y que toca al origen (obviamente su longitud es  $l_0$ ).

Por trigonometría se tiene que:

$$(x^2 + y^2)^{1/2} = (l_1^2 + l_0^2)^{1/2}$$

de donde  $l_1^2 = x^2 + y^2 - l_0^2$

Si se considera a  $\alpha$  como el ángulo que forma la perpendicular con respecto al eje positivo X, y a  $\sigma$  como el ángulo de la tangente con respecto a su perpendicular, las coordenadas del punto  $P_{xy}$  vienen a ser:

$$x = l_0 \cos \alpha + l_1 \cos(\alpha + \sigma)$$

$$y = l_0 \operatorname{sen} \alpha + l_1 \operatorname{sen}(\alpha + \sigma)$$

El término  $l_0 \cos \alpha$  proporciona la proyección de  $l_0$  sobre el eje X; a su vez  $l_1 \cos(\alpha + \sigma)$  representa la proyección de  $l_1$  sobre el mismo eje, y dependiendo del valor del argumento  $(\alpha + \sigma)$  ésta será sumada o restada al término anterior. Para el caso de la coordenada en Y, se tienen las proyecciones de las mismas rectas, pero ahora sobre este eje.

Reagrupando y elevando al cuadrado las anteriores ecuaciones:

$$(x - l_0 \cos \alpha)^2 = (l_0 \cos(\alpha + \sigma))^2$$

$$(y - l_0 \operatorname{sen} \alpha)^2 = (l_0 \operatorname{sen}(\alpha + \sigma))^2$$

Sumando y reduciendo por trigonometría:

$$(x - l_0 \cos \alpha)^2 + (y - l_0 \operatorname{sen} \alpha)^2 = l_0^2 \quad \text{ec. 1}$$

Nótese que esta ecuación corresponde a una circunferencia con centro fuera del origen y con radio  $l_0$ . Sin embargo el centro cumple con la condición de hallarse sobre una circunferencia con centro en el origen y radio  $l_0$ . Por lo tanto deben de obtenerse 2 valores de  $\alpha$  que satisfagan a la ec. 1; éstos pueden ser encontrados a través de aproximaciones sucesivas, y deberá de verificarse que

$$\alpha_{\min} \leq \alpha \leq \alpha_{\max}$$

$\alpha_{\min}$  y  $\alpha_{\max}$  corresponden a los valores mínimo y máximo respectivamente, del ángulo que puede formarse con el giro del servo 0 en relación a la parte positiva del eje X, y en sentido del giro de las manecillas del reloj; esto debido a que el movimiento en los servomotores es limitado.

En el capítulo 2 se determinó que a cada unidad del dato en el controlador se le asocia un giro de

120°/255: así

$$\text{dato} \frac{120^\circ}{255} = \text{Giro del servo desde su posición min.}$$

de donde

$$\text{dato}_0 = \frac{255}{120} (\alpha - \alpha_{\min})$$

Este valor es el que deberá de ser enviado al controlador con dirección 0 para posicionar a la base adecuadamente.

## 6.2 Cálculo sobre un plano vertical

### a) Contexto

De la fig. 6.3a puede verse que si se hace coincidir uno de los puntos de tangencia con el eje Y, el plano vertical del movimiento del brazo quedará paralelo al plano X-Z. Así, la coordenada en Y se mantiene constante y sólo se trabaja con valores en X y Z, facilitando los cálculos.

Para no alterar las coordenadas originales, se efectúa una rotación sobre el eje Z, hasta lograr la



Liámese ahora  $R(r_1, r_2)$  al punto  $P_1$  trasladado al plano  $y = -10$ , entonces:

$$r_1 = 11_0$$

$$r_2 = 2$$

Se harán primero los cálculos para el valor positivo de  $r_1$  ( $r_1^+$ ).

#### De la pinza

En la fig. 6.4 se está mostrando la disposición de los componentes del brazo que intervienen en el movimiento vertical. El primer elemento (denominado  $l_1$ ) se encuentra comprendido entre los ejes de giro de los servos 1 y 2, y el segundo elemento ( $l_2$ ) entre los ejes de los servos 2 y 4, cuyas longitudes son 15 y 15.5 cm respectivamente.

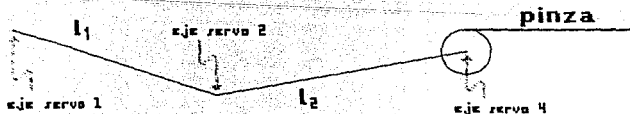


fig. 6.4 - Componentes del brazo que generan el movimiento en un plano vertical

Nótese en especial el detalle correspondiente a la pinza: ésta se encuentra a una cierta distancia del punto en que gira (eje del servo 4), por lo que al efectuar este movimiento, su extremo inicial describe una circunferencia con centro en el eje de giro del servo 4. Además, la pinza permanece siempre tangente a dicha circunferencia. Si se considera un triángulo rectángulo formado por la pinza, el radio de la circunferencia que genera (tomado en forma perpendicular a la pinza) y una recta  $l_3$  que una al centro con el extremo final de la pinza (la cual viene a ser la hipotenusa), se podrán reducir los cálculos posteriores al emplear solamente la recta  $l_3$ , de este modo se hace referencia a la fig. 6.5, en donde:

$$l_3 = [(9.5)^2 + (0.9)^2]^{1/2} = 9.542536$$

$$\theta = \text{ang tan } \frac{0.9}{9.5} = 5.411869152^\circ$$

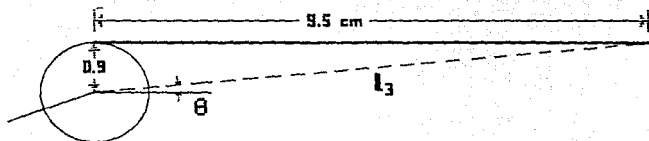


fig. 6.5 - Detalle del giro de la pinza respecto del servo 4, y simplificación de la misma

Para alcanzar el punto R, la pinza puede adoptar un gran número de posiciones, cuyos puntos iniciales forman en conjunto una circunferencia en torno a R, como puede consultarse en la fig. 6.6.

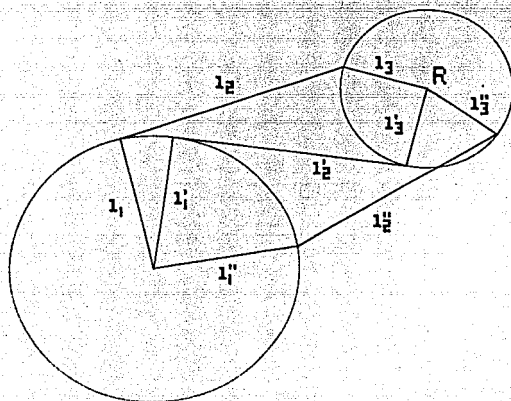


fig. 6.6 - Tres de las múltiples posibles alternativas para acceder un punto sobre el plano:  $l_1-l_2-l_3$ ,  $l_1'-l_2'-l_3'$ ,  $l_1''-l_2''-l_3''$ .

Cada uno de estos puntos sobre la circunferencia es accedido a su vez por dos posibles combinaciones de los elementos precedentes ( $l_1$  y  $l_2$ ). Esto produce que el sistema sea indeterminado en sus posiciones. Para

resolver el problema que se plantea, basta con determinar el ángulo que ha de presentar la pinza con respecto a la horizontal, al cual se puede denominar  $\delta$ .

En la fig. 6.7 se muestran las dos formas de llegar al punto R dado un valor seleccionado para  $\delta$ . A partir de las coordenadas de R, del valor de  $\delta$  y de la longitud de la pinza, puede obtenerse el punto que se ha indicado como Q y que pertenece a la circunferencia anteriormente descrita. Como ya se mencionó, para efectos de cálculos se sustituirá la pinza por la recta  $l_2$  que se obtuvo en párrafos anteriores, cuyo ángulo con respecto a la horizontal es igual al de la pinza ( $\delta$ ) más la elevación inicial  $\theta$  que posee (repásese fig. 6.5).

#### De los componentes precedentes a la pinza

Nótese sobre la misma fig. 6.7 que ahora el objetivo para los dos primeros componentes ( $l_1$  y  $l_2$ ) es el punto Q, esto viene a ser muy similar al planteamiento que se hizo para calcular los ángulos de giro de la base del brazo.

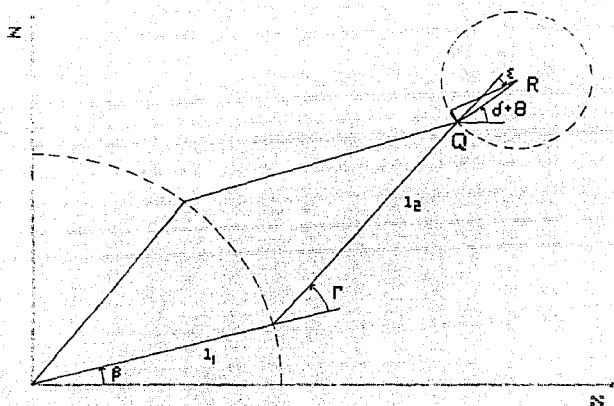


fig. 6.7 - Únicas dos formas de acceso al punto  $R(r, z)$ , dado el valor determinado de elevación de la pínza ( $\beta$ )

El ángulo  $\beta$  indica la elevación del primer componente ( $l_1$ ) respecto a la horizontal (plano X-Y). El ángulo  $\gamma$  proporciona el giro del segundo componente ( $l_2$ ) respecto al primero.

b) Desarrollo

Ya se indicó que el punto R tiene por coordenadas:

$$r_x = 1_1 \quad , \quad r_y = 1_2$$

Ahora deben de hallarse las correspondientes al punto Q( $q_x, q_y$ ). Se ve que:

$$q_x = r_x + 1_3 \cos(\delta + \theta + 180^\circ)$$

$$q_y = r_y + 1_3 \sin(\delta + \theta + 180^\circ)$$

Se ha aumentado el ángulo en  $180^\circ$ , ya que considerando un subsistema de ejes con origen en R,  $\delta + \theta$  se halla en el primer cuadrante mientras que  $1_3$  se encuentra en el tercero; sin el ajuste, ésto produciría un resultado erróneo, por lo que deben de hacerse coincidir en el tercer cuadrante.

De la fig. 6.7:

$$q_x = 1_1 \cos\beta + 1_2 \cos(\beta + \gamma)$$

$$q_y = 1_1 \operatorname{sen}\beta + 1_2 \operatorname{sen}(\beta + \gamma) \quad \text{ec. 2}$$

Agrupando y elevando al cuadrado:

$$(q_x - 1_1 \cos\beta)^2 = (1_2 \cos(\beta + \gamma))^2$$

$$(q_y - 1_1 \operatorname{sen}\beta)^2 = (1_2 \operatorname{sen}(\beta + \gamma))^2$$

Sumando y reduciendo:

$$(q_x - 1_1 \cos\beta)^2 + (q_y - 1_1 \operatorname{sen}\beta)^2 = 1_2^2 \quad \text{ec. 3}$$

Como en el caso de la ec. 1 para la base, se obtienen dos valores de  $\beta$  que satisfacen a la ecuación, los cuales pueden calcularse por aproximaciones sucesivas.

Si de las ec. 2 elevamos al cuadrado y sumamos, sin agrupar previamente:

$$\begin{aligned} q_n^2 + q_s^2 &= l_1^2 \cos^2 \beta + 2l_1 l_2 \cos \beta \cos(\beta + \Gamma) + l_2^2 \cos^2(\beta + \Gamma) \\ &\quad + l_1^2 \sin^2 \beta + 2l_1 l_2 \sin \beta \sin(\beta + \Gamma) + l_2^2 \sin^2(\beta + \Gamma) \\ &= l_1^2 + l_2^2 + 2l_1 l_2 [\cos \beta (\cos \beta \cos \Gamma - \sin \beta \sin \Gamma) \\ &\quad + \sin \beta (\sin \beta \cos \Gamma + \cos \beta \sin \Gamma)] \end{aligned}$$

$$q_n^2 + q_s^2 = l_1^2 + l_2^2 + 2l_1 l_2 \cos \Gamma,$$

de donde

$$\Gamma = \pm \arccos \frac{q_n^2 + q_s^2 - l_1^2 - l_2^2}{2l_1 l_2} \quad \text{ec. 4}$$

Al menor valor de  $\beta$  se le asocia el valor positivo de  $\Gamma$ , mientras que al mayor  $\beta$  le corresponde  $\Gamma$  negativo. Nótese que en el caso de que la distancia del origen al punto Q sea igual a  $l_1 + l_2$ , sólo existirá un valor de  $\beta$  que cumpla con la ec. 3 y  $\Gamma$  será nulo.

El ángulo  $\epsilon$  indicado en la fig. 6.7 corresponde a la posición de la pinza con respecto al elemento  $l_2$ . Se

distingue fácilmente la relación:

$$s = \beta + r + \epsilon,$$

de donde

$$\epsilon = s - \beta - r \quad \text{ec. 5}$$

Así, una vez calculados los valores de  $\beta$ ,  $r$  y  $\epsilon$ , deben de verificarse las condiciones:

$$\beta_{\min} \leq \beta \leq \beta_{\max}$$

$$r_{\min} \leq r \leq r_{\max}$$

$$\epsilon_{\min} \leq \epsilon \leq \epsilon_{\max},$$

tal y como se hizo para  $\alpha$ . Si se cumplen estas relaciones entonces se procede a calcular los correspondientes valores que han de enviarse al controlador:

$$\text{dato}_1 = \frac{255}{120} (\beta - \beta_{\min})$$

$$\text{dato}_2 = 255 - \frac{255}{120} (r - r_{\min}) *$$

$$\text{dato}_3 = \frac{255}{120} (\epsilon - \epsilon_{\min})$$

\* El sentido del giro en que crecen los valores del dato es opuesto a aquél con que lo hace  $r$ , por lo que se efectúa la sustracción del valor mayor (255).

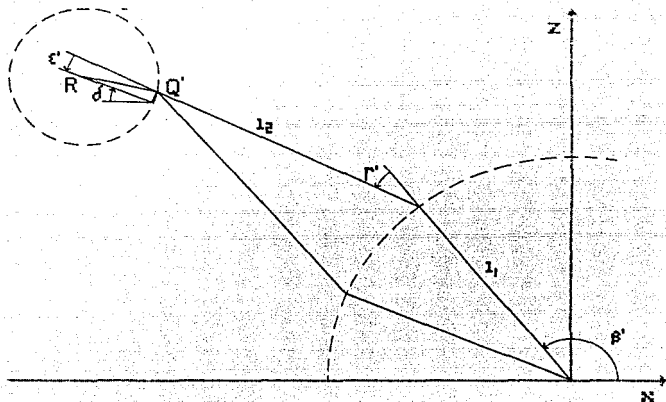


fig. 6.8 - Acceso al punto  $R(r_-, z)$ , con una elevación determinada de la pinza ( $\delta$ )

En base a la fig. 6.8, se efectuarán ahora los cálculos para cuando  $r_+$  adopta un valor negativo ( $r_-$ ).

Todas las consideraciones hechas anteriormente son válidas para este punto, y varían solamente en que:

- El ángulo  $\delta$  pasa a ser ahora  $\delta'$ , definido como:

$$\delta' = 180^\circ - \delta$$

- Al obtener valores de  $q_w$  y  $q_r$ ,  $\delta$  debe de ser sustituido por  $\delta'$ , los cuales una vez reduciendo aparecen como:

$$q_w' = r_w + l_2 \cos(\theta - \delta)$$

$$q_r' = r_r + l_2 \sin(\theta - \delta)$$

- Los ángulos  $\beta$ ,  $r$  y  $\epsilon$  se traducen ahora a  $\beta'$ ,  $r'$  y  $\epsilon'$  respectivamente.

- Con las coordenadas del punto  $Q'$  y aplicando la sustitución anterior, se calculan valores para estos ángulos mediante las ec. 3, 4 y 5, ésto es:

$$(q_w' - l_1 \cos \beta')^2 + (q_r' - l_1 \sin \beta')^2 = l_2^2$$

$$r' = \pm \arccos \frac{q_w'^2 + q_r'^2 - l_1^2 - l_2^2}{2 \cdot l_1 \cdot l_2}$$

$$\epsilon' = 180 - (\delta + \beta' + r')$$

- Deben verificarse las relaciones:

$$\beta_{\min} \leq \beta' \leq \beta_{\max}$$

$$r_{\min} \leq r' \leq r_{\max}$$

$$\epsilon_{\min} \leq \epsilon' \leq \epsilon_{\max}$$

- Se obtienen los valores que han de ser enviados al controlador:

$$\text{dato}_1 = \frac{255}{120} (\beta' - \beta_{\min})$$

$$\text{dato}_2 = 255 - \frac{255}{120} (r' - r_{\min})$$

$$\text{dato}_3 = \frac{255}{120} (\epsilon' - \epsilon_{\min})$$

### 6.3 Asociación de Ángulos

Ahora debe de definirse la forma en que los ángulos primos ( $\beta'$ ,  $r'$ ,  $\epsilon'$ ) y los no primos ( $\beta$ ,  $r$ ,  $\epsilon$ ) se relacionan con los ángulos de la base ( $\alpha_{\text{menor}}$  y  $\alpha_{\text{mayor}}$ ).

Tomando en cuenta que el ángulo  $\alpha$  se halla comprendido en el rango  $[0, 360^\circ)$ , se procederá a analizar de qué forma pueden acce- cesarse los diversos puntos. Para ello, se considerará a  $\alpha$  en su mínima posible posición ( $\alpha=0$ ), en la que los valores críticos son  $x=0.6$  y  $y=-0.9$  (punto en que se encuentra la pinza al adoptar el brazo su posición vertical extrema, dada la excentricidad de aquélla). Así, puede generarse la siguiente tabla 6.1:

x	y	ángulos asociados	
		a $\alpha_{menor}$	a $\alpha_{mayor}$
> 0.6	< -0.9	primos	no primos
> 0.6	> -0.9	primos	no primos
< 0.6	< -0.9	no primos	primos
< 0.6	> -0.9	no primos	primos
0.6	$\leq$ -0.9	primos	no primos
0.6	> -0.9	no primos	primos

tabla 6.1 - Análisis de asociación de ángulos por regiones

De aquí puede obtenerse la relación

```

if x > 0.6 or (x = 0.6 and y  $\leq$  -0.9)
  a  $\alpha_{menor}$  se asocian ángulos primos
  a  $\alpha_{mayor}$  se asocian ángulos no primos
else
  a  $\alpha_{menor}$  se asocian ángulos no primos
  a  $\alpha_{mayor}$  se asocian ángulos primos

```

En la fig. 6.9 se indica la forma de asociar los ángulos calculados, de acuerdo con el resultado de la condición anterior.

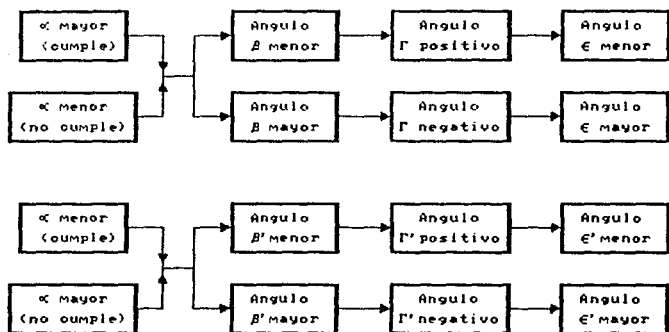
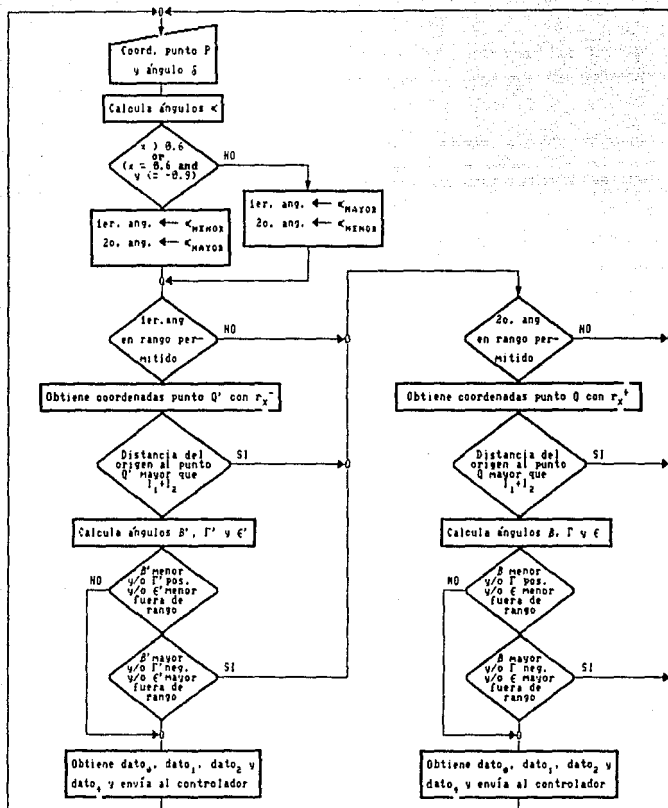


fig. 4.9 - Correspondencia entre los ángulos calculados

Una vez desarrollado el método que permite definir las posiciones del brazo, y mostrada la asociación de ángulos, se presenta el diagrama de flujo correspondiente al algoritmo:



#### 6.4 Ejemplo

Se muestra a continuación un ejemplo del cálculo de posiciones. No sin antes repasar las longitudes de cada elemento del brazo y de indicar los valores máximos y mínimos obtenidos para los ángulos involucrados:

$$\begin{aligned}l_0 &= 0.6, & l_1 &= 15, & l_2 &= 15.5 & (\text{en cm}) \\ \alpha_{\min} &= 154.7826^\circ, & \alpha_{\max} &= 281.6124^\circ, & \text{amplitud} &= 126.8297^\circ \\ \beta_{\min} &= 52.7^\circ, & \beta_{\max} &= 180^\circ, & \text{amplitud} &= 127.3^\circ \\ \gamma_{\min} &= -19.4^\circ, & \gamma_{\max} &= 102.7^\circ, & \text{amplitud} &= 122.1^\circ \\ \epsilon_{\min} &= -50.55^\circ, & \epsilon_{\max} &= 82.8^\circ, & \text{amplitud} &= 133.35^\circ\end{aligned}$$

La amplitud del movimiento para un cierto ángulo corresponde a la diferencia entre el valor máximo y el valor mínimo (p.ej.  $\alpha_{\max} - \alpha_{\min}$ ). Nótese que aunque el fabricante especifica una amplitud de giro de  $120^\circ$  para cada servomotor, las mediciones hechas proporcionan cierta diferencia con respecto a ese dato.

Ejemplo: Accesar el punto  $P(-23,7,-2)$ , ubicando la pinza a  $-90^\circ$  respecto a la horizontal.

a) Cálculo de ángulos  $\alpha$ :

$$\begin{aligned}l_a^2 &= x^2 + y^2 - l_0^2 \\ &= (-23)^2 + (7)^2 - (0.6)^2 \\ &= 577.64\end{aligned}$$

$$(x - l_0 \cos \alpha)^2 + (y - l_0 \operatorname{sen} \alpha)^2 = l_1^2$$

$$(-23 - 0.6 \cos \alpha)^2 + (7 - 0.6 \operatorname{sen} \alpha)^2 = 577.64$$

de donde  $\alpha_{\text{menor}} = 74.502^\circ$

$$\alpha_{\text{mayor}} = 251.642^\circ$$

Las posiciones correspondientes a estos valores se muestran en la fig. 6.11.

b) Cálculo de ángulos  $\beta'$ ,  $\gamma'$  y  $\epsilon'$ , asociados a  $\alpha_{\text{mayor}}$ :

$$r_u = -l_1 = -24.0341, \quad r_s = -2$$

$$q_u' = r_u + l_2 \cos(\theta - \delta) = -24.9341$$

$$q_s' = r_s + l_2 \operatorname{sen}(\theta - \delta) = 7.5$$

La distancia del origen al punto  $Q'$  es

$$d = [(-24.9341)^2 + (7.5)^2]^{1/2} = 26.03,$$

la cual es menor que  $l_1 + l_2$  (30.5 cm), y por lo tanto es posible acceder este punto.

$$(q_u' - l_1 \cos \beta')^2 + (q_s' - l_1 \operatorname{sen} \beta')^2 = l_2^2$$

$$(-24.9341 - 15 \cos \beta')^2 + (7.5 - 15 \operatorname{sen} \beta')^2 = 240.25$$

de donde  $\beta'_{\text{menor}} = 131.297^\circ$

$$\beta'_{\text{mayor}} = 195.221^\circ$$

$$\gamma' = \pm \arccos \frac{q_u'^2 + q_s'^2 - l_1^2 - l_2^2}{2 l_1 l_2}$$

$$\Gamma' = \pm 62.7779^\circ$$

$$\begin{aligned} \epsilon'_{\text{menor}} &= 180 - (\delta + \beta'_{\text{menor}} + \Gamma'_{\text{pos}}) \\ &= 180 - (-90 + 131.297 + 62.7779) \\ &= 75.9251^\circ \end{aligned}$$

$$\begin{aligned} \epsilon'_{\text{mayor}} &= 180 - (\delta + \beta'_{\text{mayor}} + \Gamma'_{\text{neg}}) \\ &= 137.5569^\circ \end{aligned}$$

En la fig. 6.12 se muestran las posiciones del brazo asociadas a los valores aquí obtenidos, así como para los que surgirán en el inciso d).

c) Obtención de datos para el controlador:

Dado que los valores de  $\beta'_{\text{menor}}$ ,  $\Gamma'_{\text{pos}}$  y  $\epsilon'_{\text{menor}}$  se encuentran dentro de los rangos permitidos, se les empleará para encontrar los datos que han de enviarse al controlador.

$$\text{dato}_0 = \frac{255}{126.8297} (251.642 - 154.7826) = 194.7 = \boxed{\text{C3H}}$$

$$\text{dato}_1 = \frac{255}{127.3} (131.297 - 52.7) = 157.4 = \boxed{\text{9DH}}$$

$$\text{dato}_2 = 255 - \frac{255}{122.1} (62.7779 + 19.4) = 83.3 = \boxed{53H}$$

$$\text{dato}_4 = \frac{255}{133.35} (75.9251 + 50.55) = 241.8 = \boxed{F2H}$$

d) Cálculo de ángulos  $\beta$ ,  $\gamma$  y  $\epsilon$ , asociados a  $\alpha_{\text{menor}}$ :

Aún cuando el menor valor de  $\alpha$  se encuentra fuera de rango, se procederá a calcular los ángulos asociados a éste, con el objeto de mostrar la forma en que son obtenidos.

$$r_{u^*} = r_u = 24.0341 \quad , \quad r_x = -2$$

$$q_u = r_{u^*} + l_3 \cos(\delta + \theta + 180) = 23.1341$$

$$q_x = r_x + l_3 \sin(\delta + \theta + 180) = 7.5$$

La distancia del origen al punto Q es

$$d = [(23.1341)^2 + (7.5)^2]^{1/2} = 24.3194 \quad .$$

la cual es menor que  $l_1 + l_2$  (30.5 cm).

$$(q_u - l_1 \cos \beta)^2 + (q_x - l_1 \sin \beta)^2 = l_2^2$$

$$(23.1341 - 15 \cos \beta)^2 + (7.5 - 15 \sin \beta)^2 = 240.25$$

de donde  $\beta_{\text{menor}} = -19.876^\circ$

$$\beta_{\text{mayor}} = 55.801^\circ \quad .$$

$$\gamma = \pm \arccos \frac{q_u^2 + q_x^2 - l_1^2 - l_2^2}{2 l_1 l_2}$$

$$\Gamma = \pm 74.2542^\circ$$

$$\begin{aligned} \epsilon_{\text{menor}} &= \delta - \theta_{\text{menor}} - \Gamma_{\text{men}} \\ &= -144.3782^\circ \end{aligned}$$

$$\begin{aligned} \epsilon_{\text{mayor}} &= \delta - \theta_{\text{mayor}} - \Gamma_{\text{may}} \\ &= -71.5468^\circ \end{aligned}$$

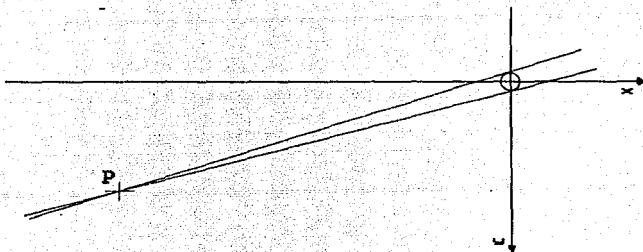


fig. 6.11 - Posiciones para acceder el punto  $P_{xy}$ , correspondientes a los valores menor y mayor de  $\alpha$

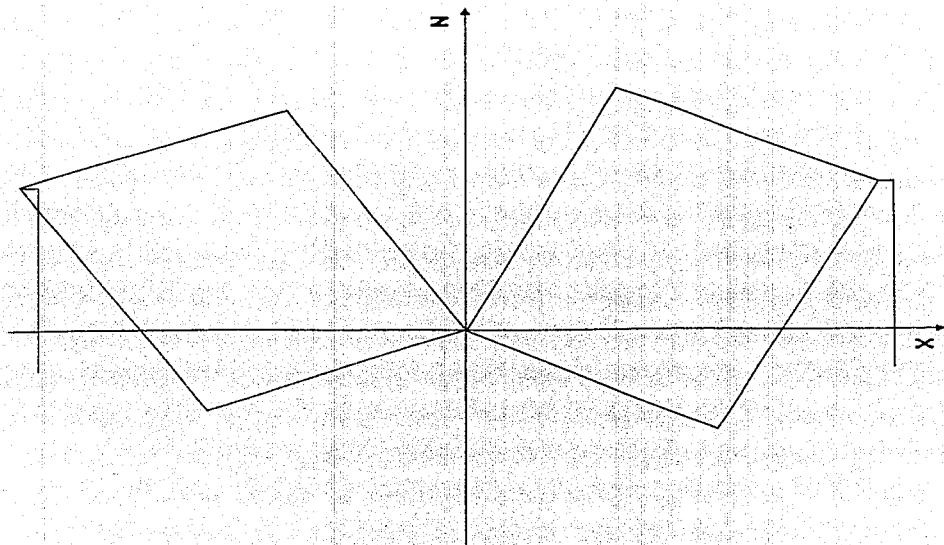
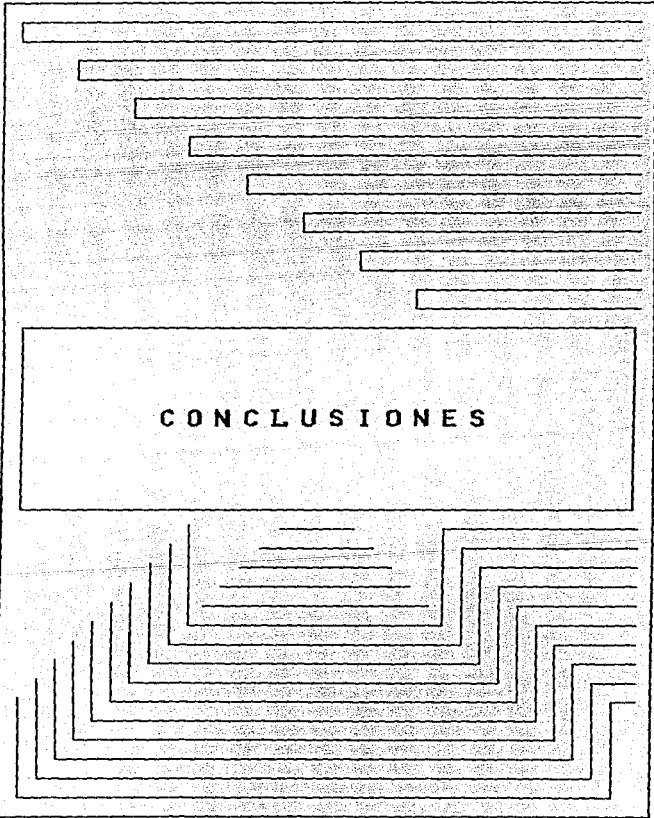


Fig. 9.12 - Formas de acceso a los puntos R, dadas las condiciones del ejemplo.



**CONCLUSIONES**

El desarrollo del presente proyecto implicó lo siguiente:

- a) Estudio del manual del equipo y de los diagramas del controlador proporcionados por el distribuidor.
- b) Investigación del cruce de líneas entre los conectores interno y externo del controlador.
- c) Investigación de las señales involucradas en la carga de información en el controlador.
- d) Estudio de las características y de la conexión de los circuitos de comunicación en paralelo MC68230 y Z80-PIO.
- e) Conexión del controlador a los kits educativos.
- f) Investigación de los códigos asociados al teclado del controlador.
- g) Investigación de las señales enviadas al brazo.
- h) Desarrollo de los diversos diagramas de tiempo asociados a las funciones del controlador.
- i) Definición de características, desarrollo y prueba del software de control.

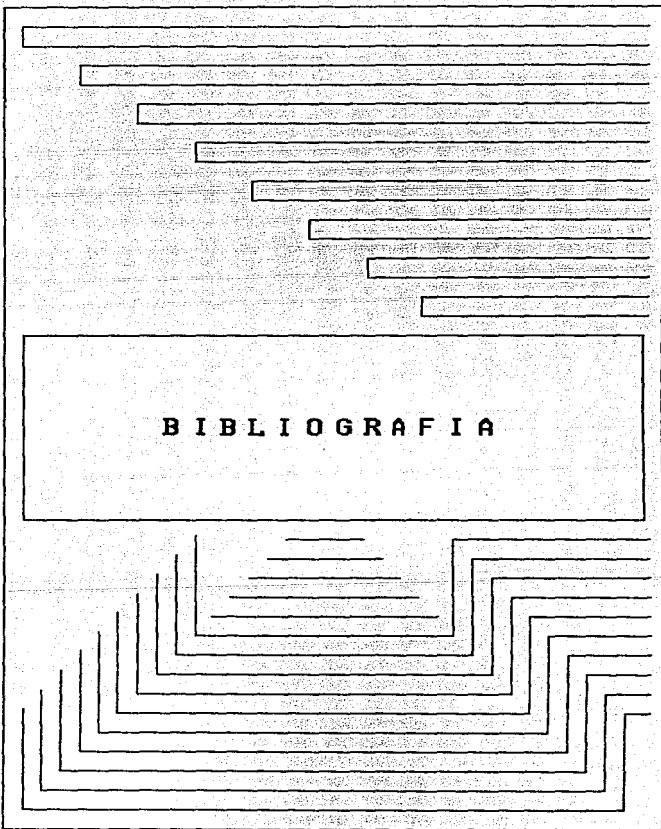
- j) Estudio profundo del funcionamiento del servo-amplificador NES44.
- k) Estudio de la tarjeta de circuito impreso del brazo, con el fin de descubrir la distribución de señales en el conector de entrada.
- l) Investigación acerca de las configuraciones de la pinza neumática, válvula solenoide y su circuito amplificador, así como del punto de partida de la correspondiente señal de control.
- m) Desarrollo del método para el cálculo de giros de los servomotores, para lo cual se efectuó poca investigación en libros y se trabajó al 100% sobre el modelo real.
- n) Mediciones de los ángulos generados por cada uno de los servomotores, y comprobación de resultados a través de una serie de ejemplos.

El constante problema que se enfrentó fue la carencia de información en el manual y diagramas del equipo proporcionados por el distribuidor, por lo que se hizo necesario incurrir en las acciones descritas en los incisos b, f, h, j, k y l. Más aún, cierta información incluida llegaba a ser errónea; tal fue el caso de la

dirección asociada a la señal de la pinza neumática en el controlador, para la cual proporcionan un valor, sin embargo el equipo posee una configuración completamente diferente a la especificada.

Al concluir este trabajo se ha logrado:

- a) Presentar los componentes tanto del brazo mecánico como del controlador, proporcionando una clara explicación de su modo de operación.
- b) Incluir un análisis del funcionamiento del servo-amplificador NE544, en relación al control de los servomotores. Esto permite familiarizarse con el circuito, propiciando a la vez su uso en el desarrollo de futuros proyectos.
- c) Mostrar una aplicación de los kits educativos y en especial de los circuitos de comunicación en paralelo.
- d) Proporcionar un ejemplo del manejo de la información que utiliza el controlador, así como del aprovechamiento de su teclado.
- e) Introducir una forma de análisis de los movimientos del brazo. En especial, en estos dos últimos puntos se encuentran las bases para el desarrollo de futuras prácticas de programación con los kits educativos.



**B I B L I O G R A F I A**

- 1 - López Navarro, Tomás  
Automatismo y Control  
Ed. Gustavo Gili, S.A.  
Barcelona, 1969
  
- 2 - Eroida, V.  
Automatización, Regulación Automática, Servomecanismos  
Editorial Universitaria de Buenos Aires  
Buenos Aires, 1965
  
- 3 - Fu, K.S.; González, R.C.; Lee, C.S.G.  
Robótica: Control, Detección, Visión e Inteligencia  
Ed. McGraw Hill  
México, 1988
  
- 4 - Coiffet, P.; Chirouze, M.  
Elementos de Robótica  
Ed. Gustavo Gili, S.A.  
Barcelona, 1986

5 - Avilés González, Rafael; Angulo Usategui, José María

Curso de Robótica

Ed. Paraninfo

Madrid, 1989

6 - Manual 'Smart-Arms (Industrial Robots) and

Smart-Cell (Flexible Manufacturing Units)'

Systems Control

Inglaterra

7 - Lara López, Ma. del Rocío

Manual 'Introducción al Equipo'

DRT México

8 - MC68000 Educational Computer Board User's Manual

Motorola, Inc.

Arizona, 1982

9 - Z80 Starter System Operations Manual

Micro Design Concepts

1978

10 - The Motorola MC68230

Motorola, Inc.

Austin, Texas; 1984

11 - NE544 Servo Amplifier Product Specification

Signetics Linear Products

Signetics

1987

12 - Applications Using the NE544 Servo Amplifier

Signetics Linear Products

Signetics

1987

13 - Rosales Valderrábano, Edmundo

Apuntes para el Manual de Prácticas del Laboratorio de

Microcomputadoras

México, 1991